

MONITORIZARE SI DIAGNOZA IN SISTEME ELECTROMECHANICE

TERMENI UZUALI:

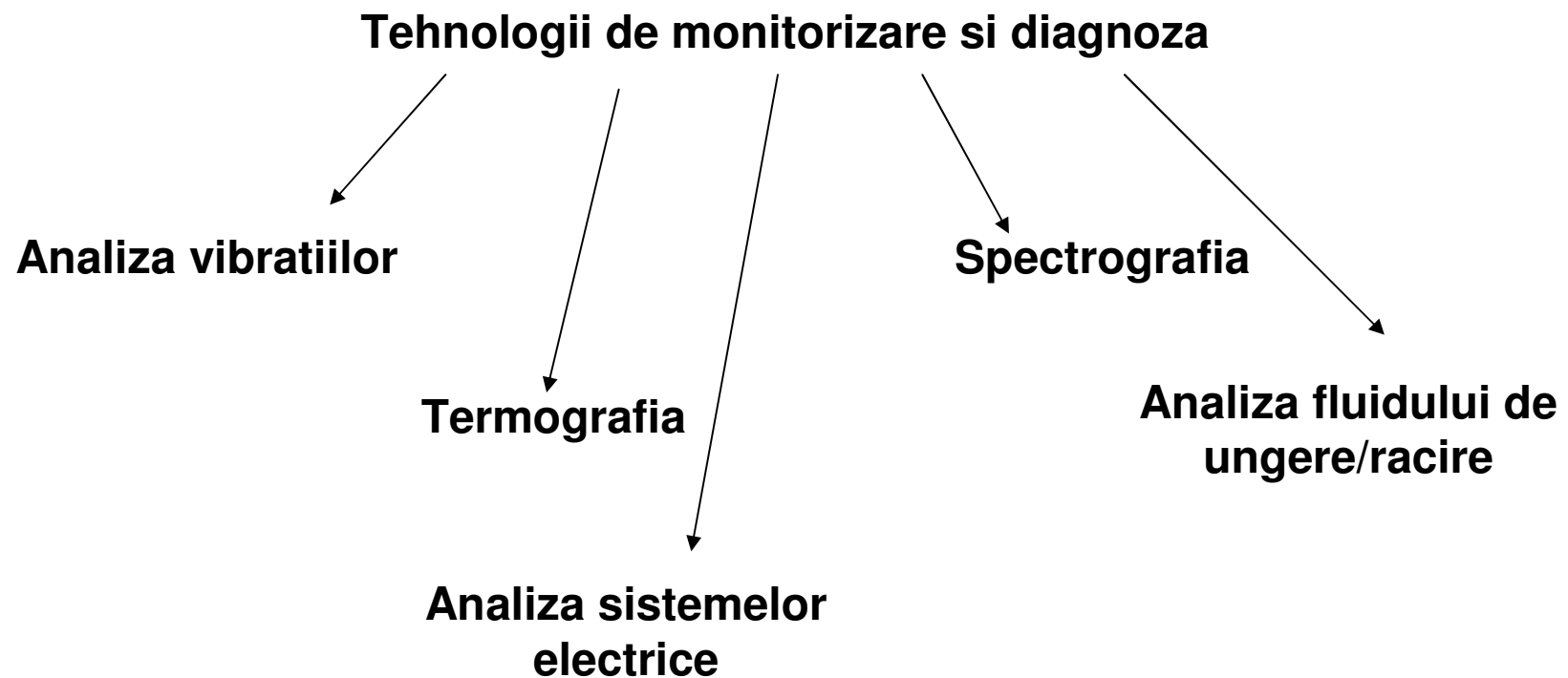
situatie de defect - deteriorarea sau intreruperea capacitatii unui sistem de a asigura o functie ceruta in conditiile de functionare specificate

diagnoza - include etapele de **izolare si identificare** a defectelor

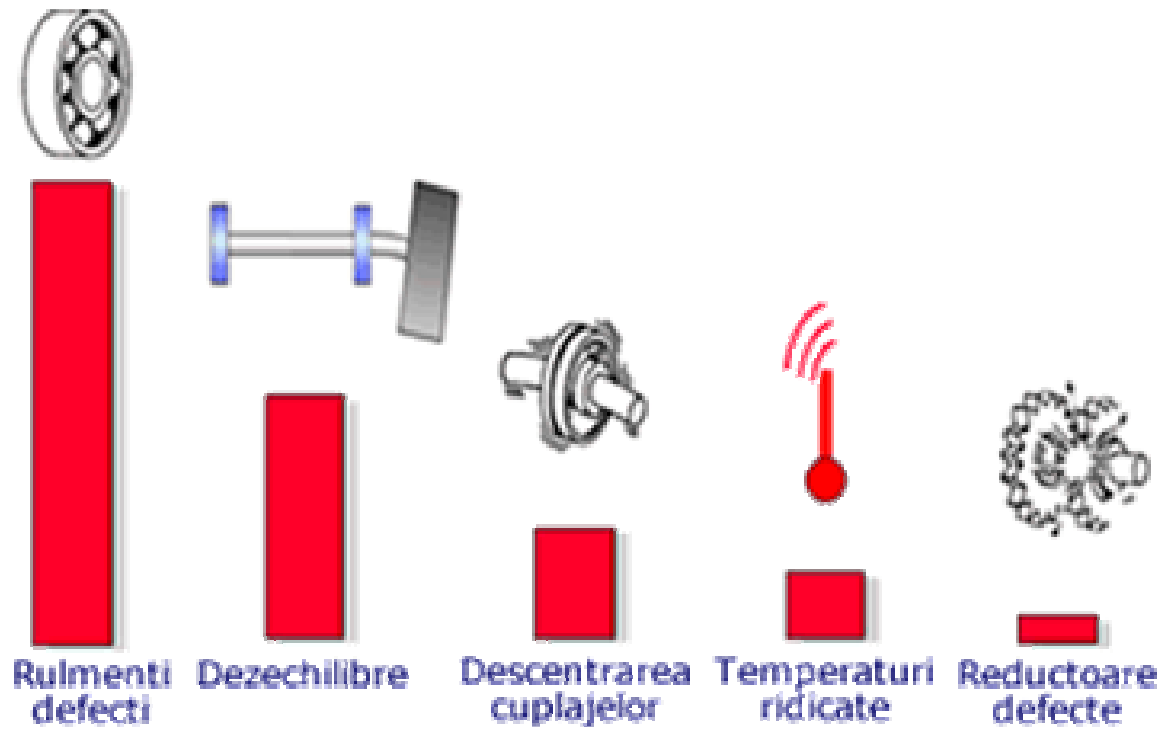
determinarea tipului de defect, a locului de producere a defectului si a momentului de detectare

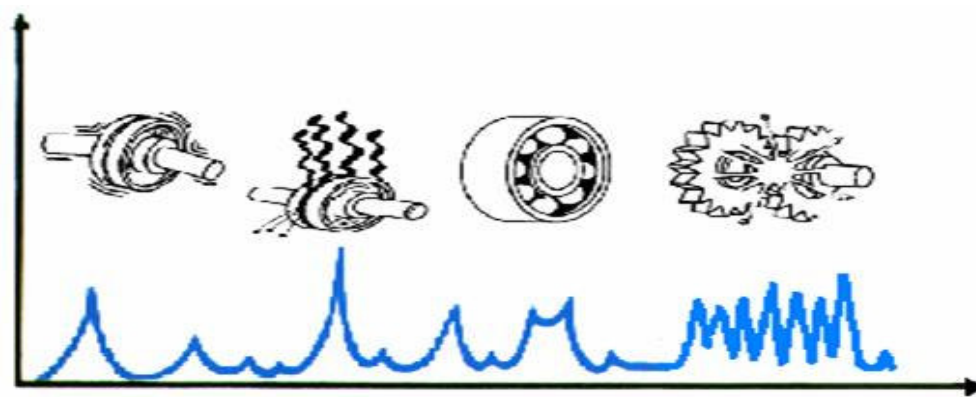
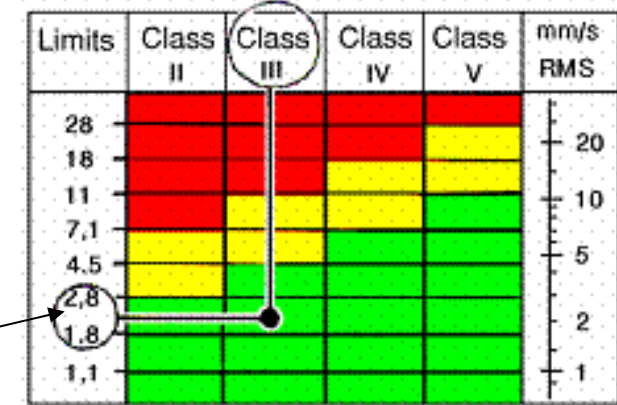
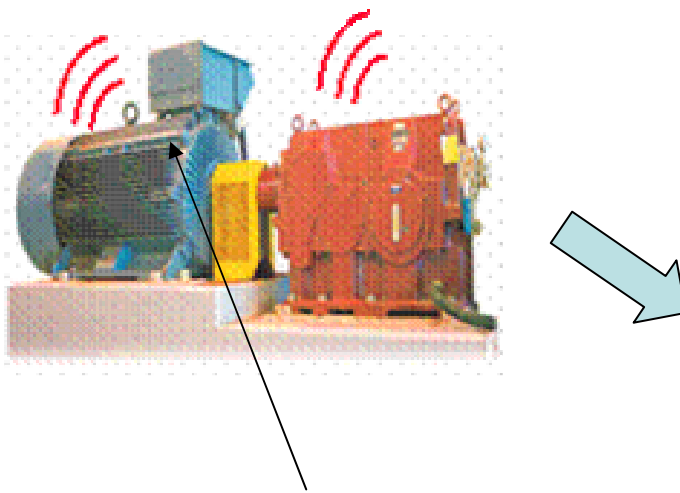
determinarea mărimii și comportării în timp a defectului, respectiv a cauzei care a generat defectarea constatată.

Modul de monitorizare a stării sistemului (condition monitoring module):
ansamblul tuturor echipamentelor care asigură preluarea și analiza semnalelor din sistem, detectia și diagnoza defectelor



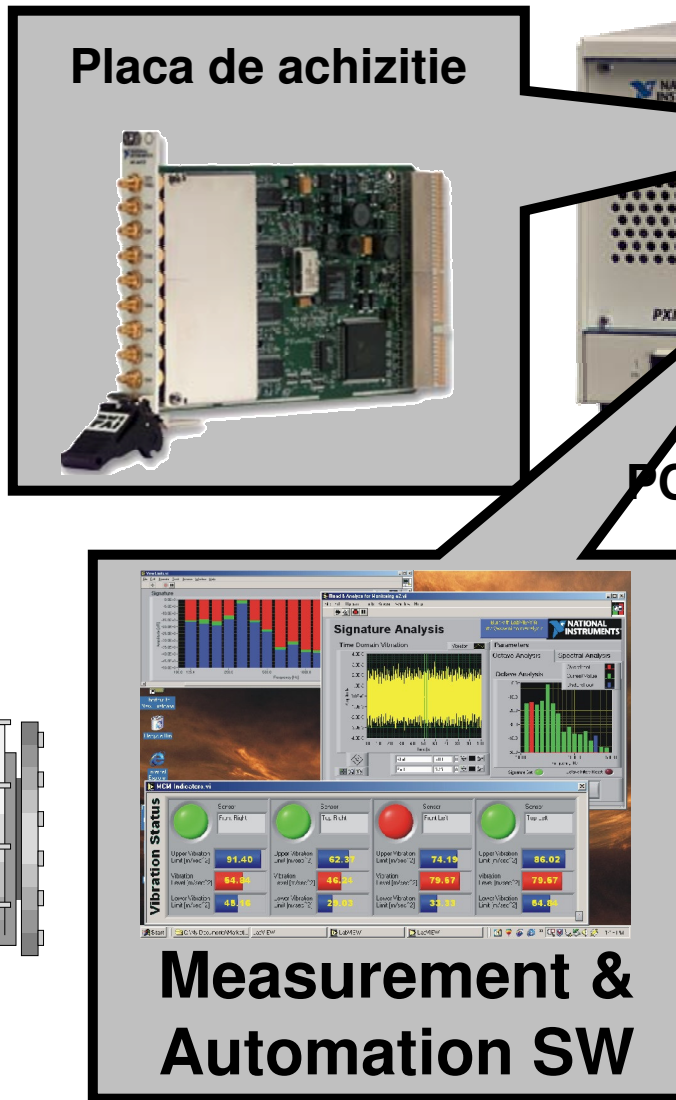
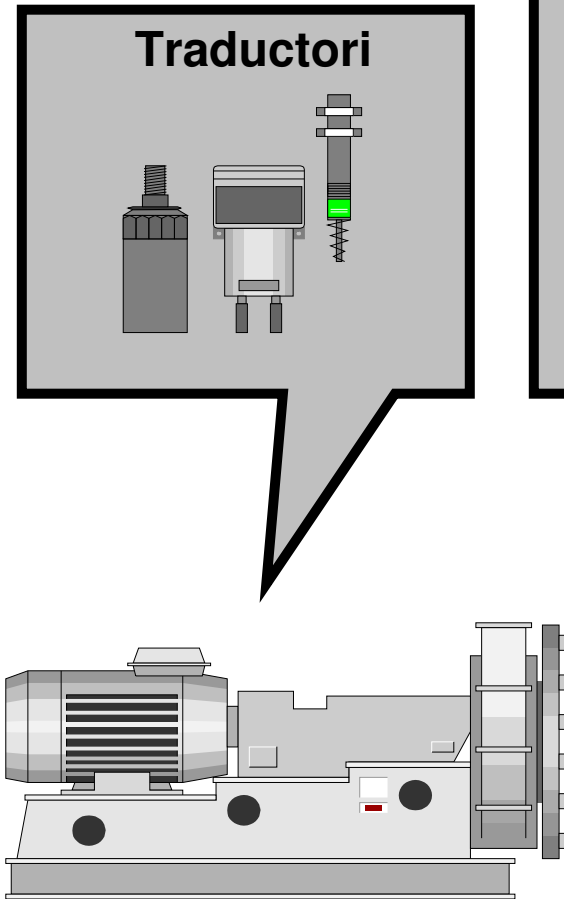
ANALIZA VIBRATIILOR



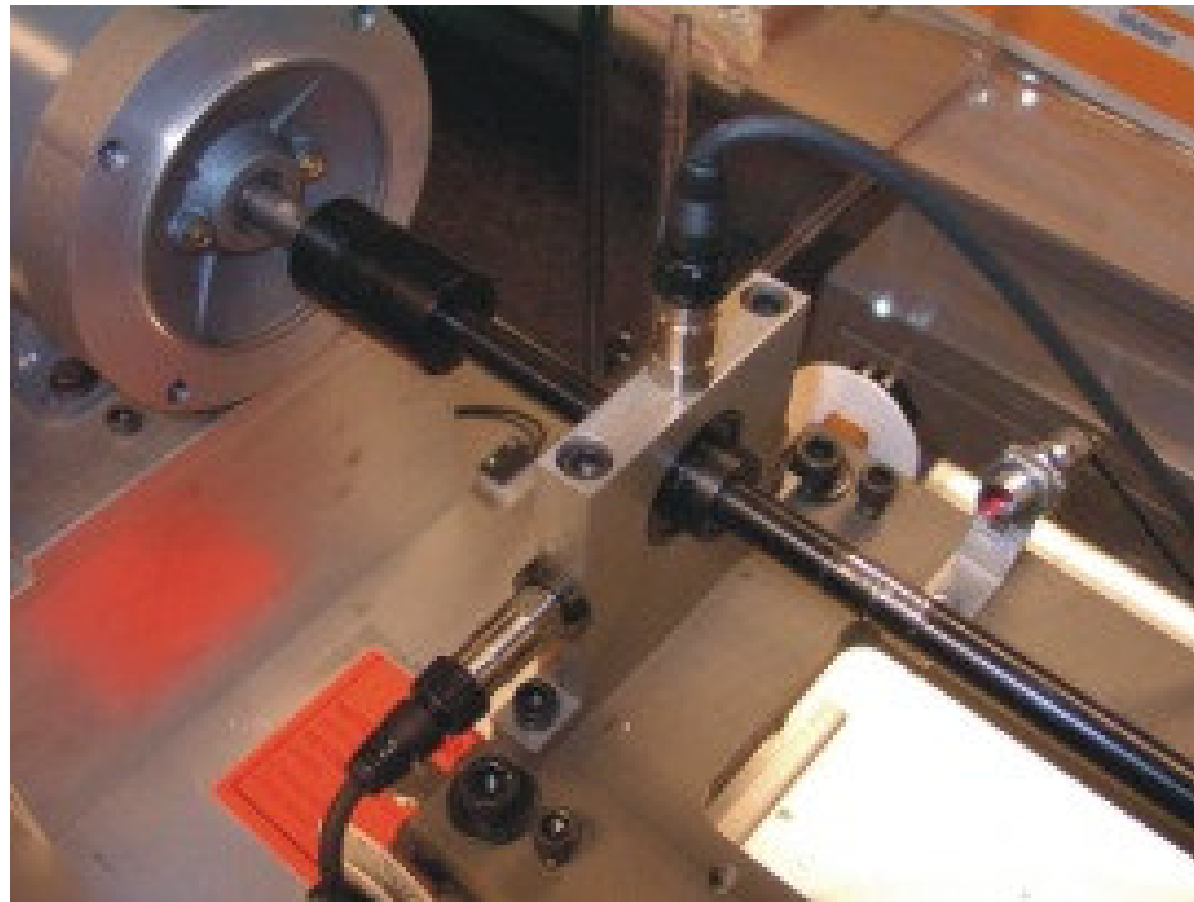


Fiecare tip de defect se regaseste in anumite frecvente in spectrum vibratiilor

Sistem de monitorizare si diagnoza

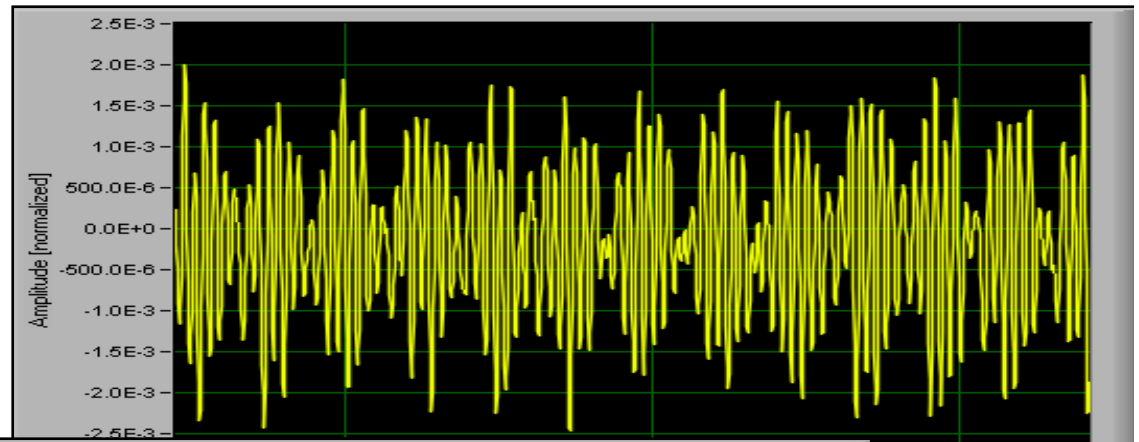


Pozitionarea accelerometrului

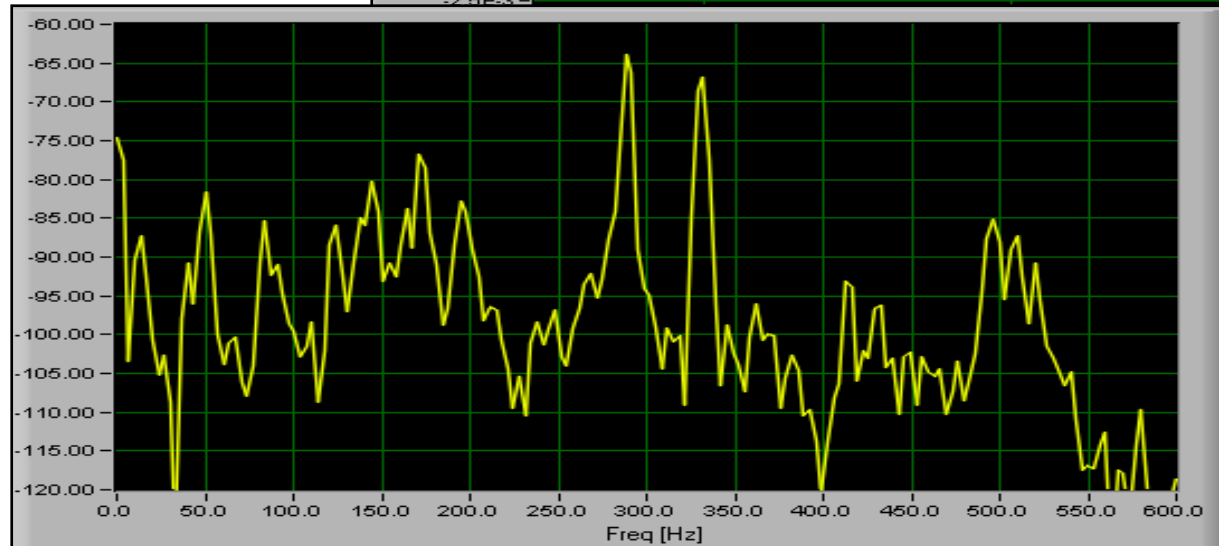


Procesarea semnalului

Domeniu timp



Domeniu
frecventa



ANALIZA TEMPERATURII

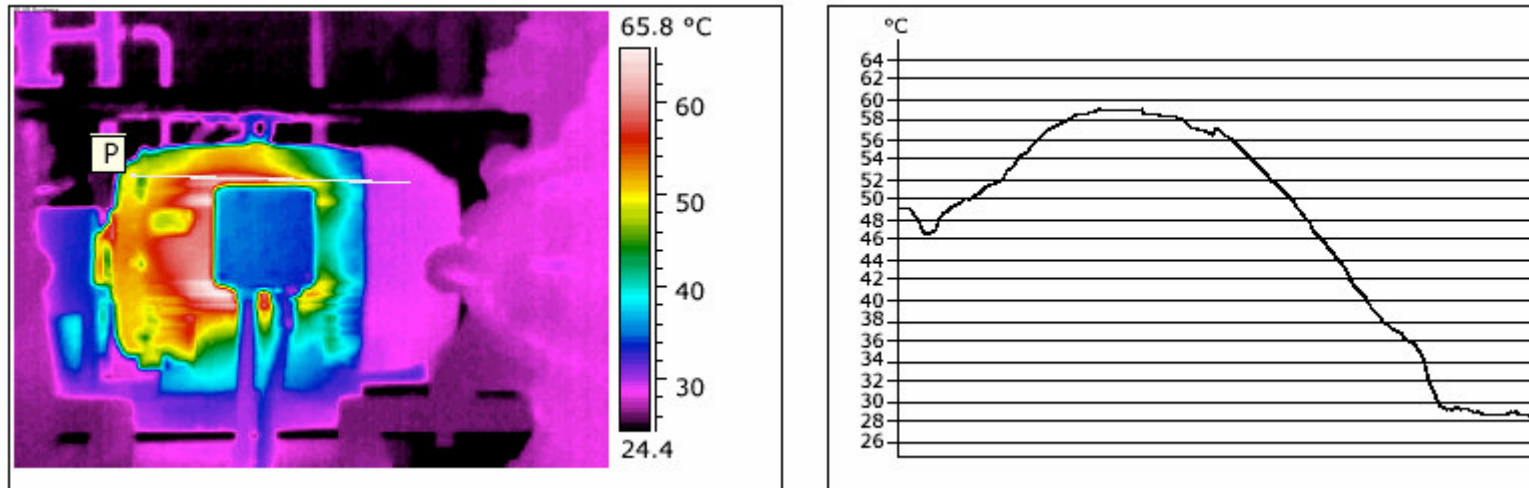
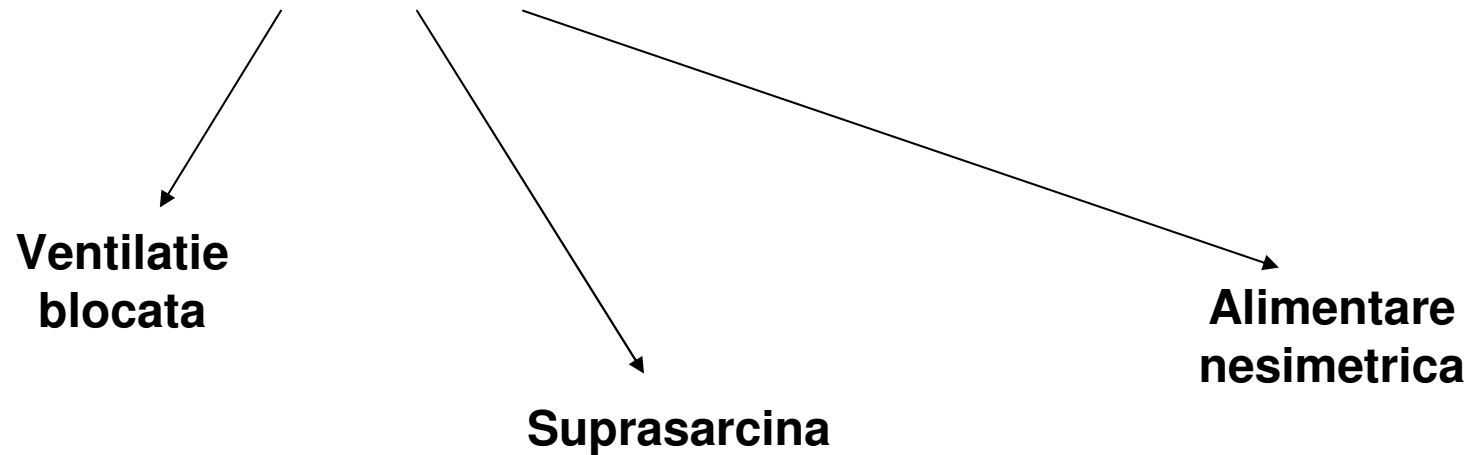
Utilizand traductori de temperatura – termocouple, de exemplu

Utilizand camere cu infraroșu pentru vizualizarea și măsurarea energiei termice

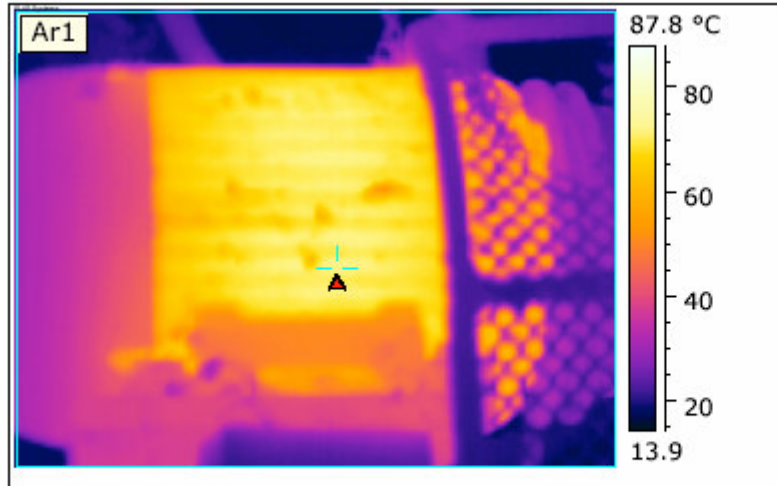
Termografie

Se bazează pe faptul că orice corp, cu temperatură peste sau sub 0 °C emite căldură.

Pentru motoarele electrice

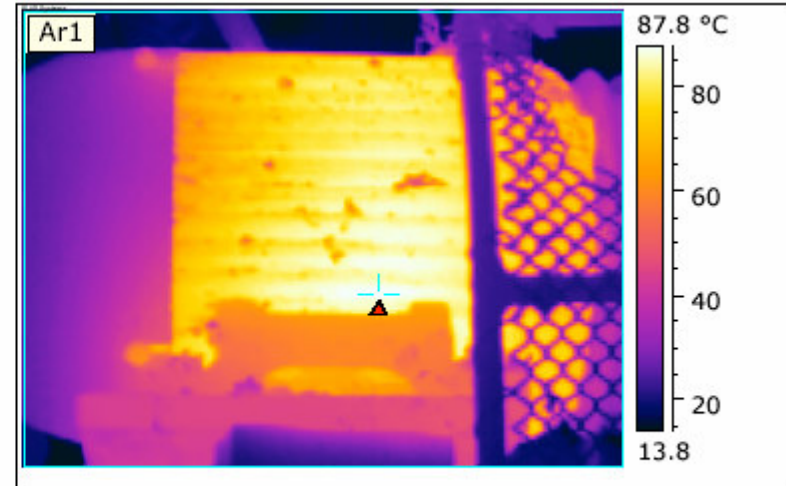


Termograma si profilul variației temperaturii la o ventilatie corespunzătoare



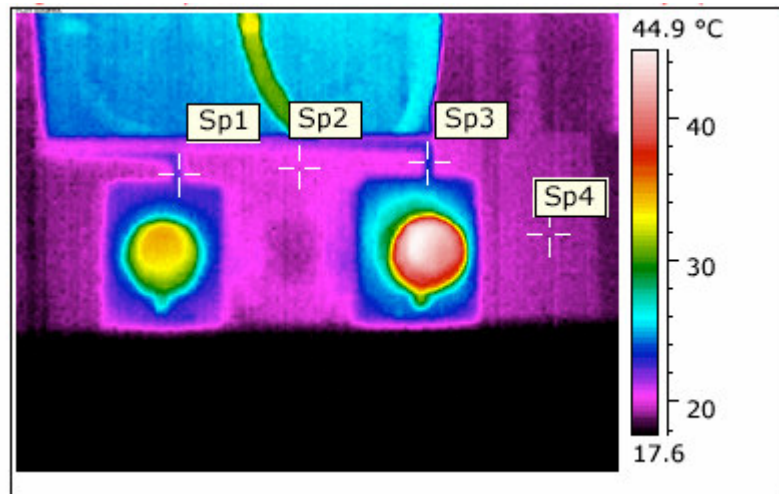
Label	Value
Ar1: Max	71.0 °C

Termograma la alimentare simetrică



Label	Value
Ar1: Max	82.3 °C

Termograma la alimentare nesimetrică – o fază nealimentată

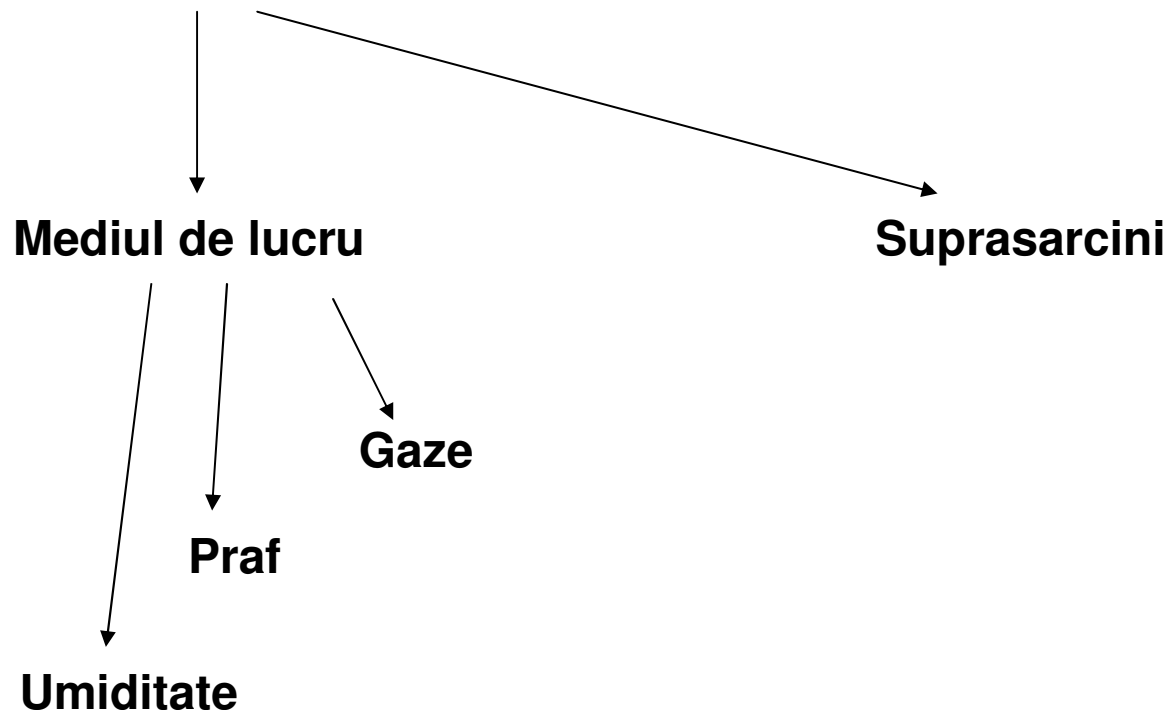


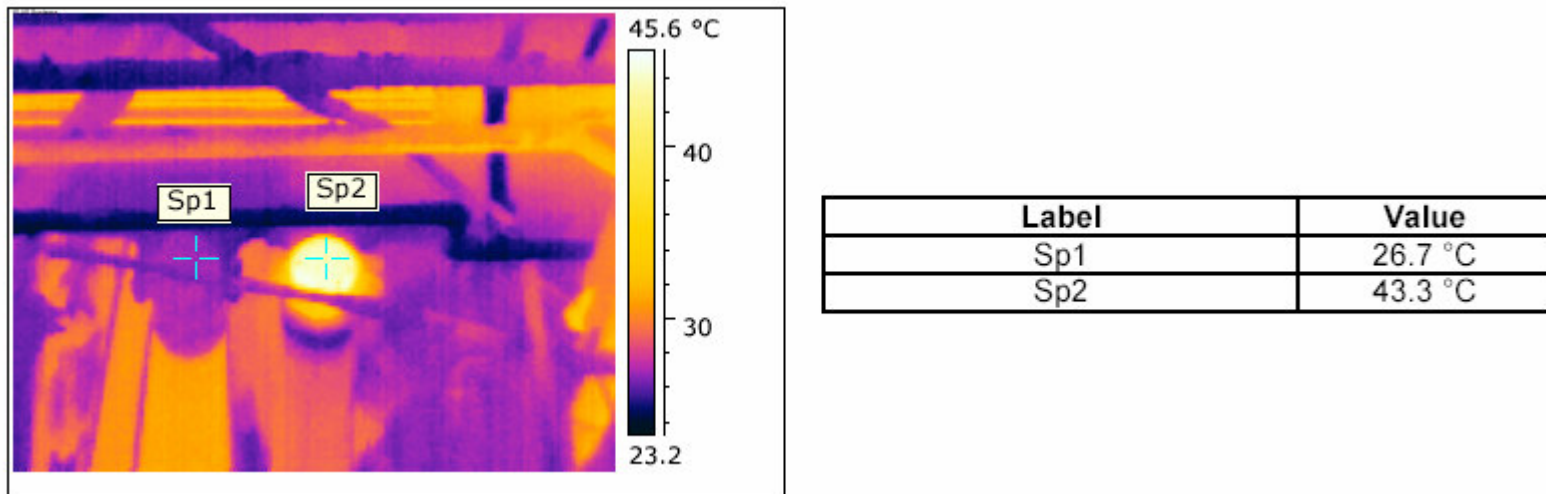
Label	Value
Sp1	22.0 °C
Sp2	19.8 °C
Sp3	23.0 °C
Sp4	19.3 °C

Cutia cu borne - termograma

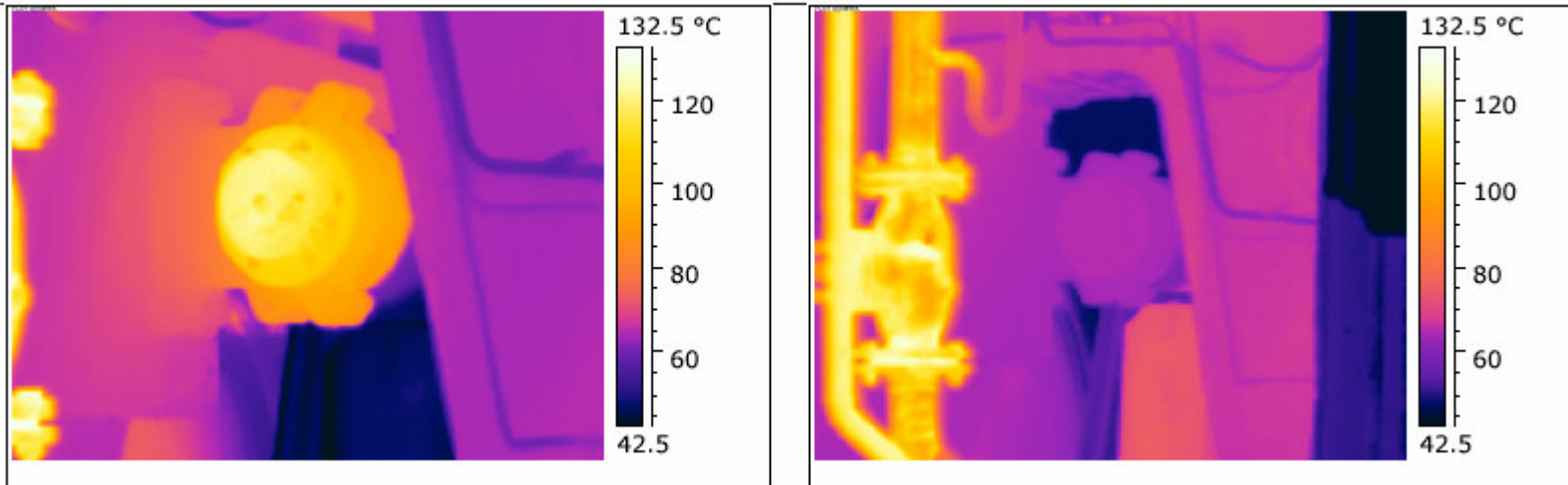
Observatie. Faza 2 este nealimentata.

Pentru lagare





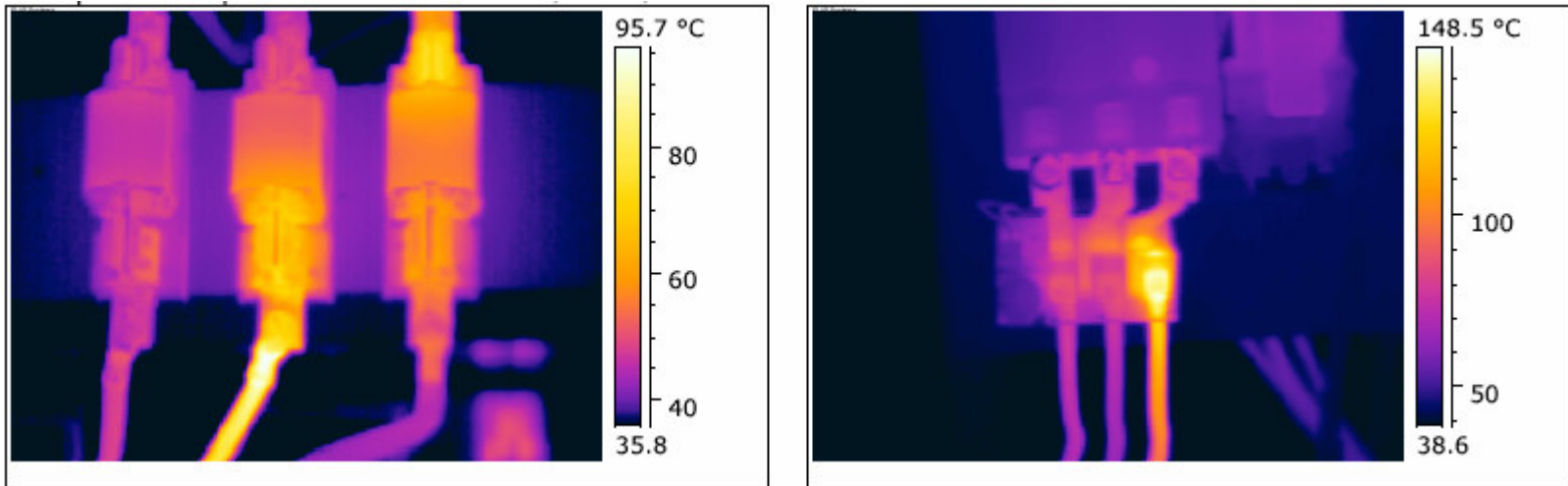
Termograma a doua lagare: unul deteriorat datorita umiditatii si unul fara probleme



Lagar cu probleme

Lagar fara probleme

Echipament electric



Contactoare

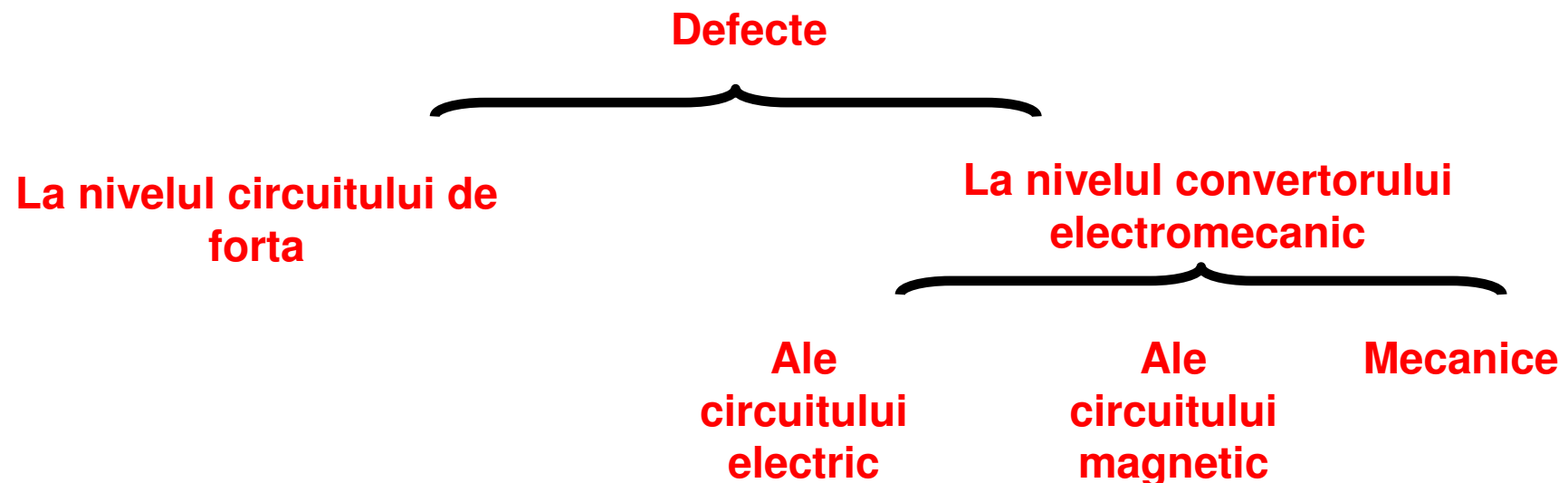
Fuzibile

ANALIZA FLUIDULUI DE UNGERE/RACIRE

- **Prezenta unor particule metalice:** prin spectrometrie.
Indicator al unei uzuri
- **Aciditatea:** oxidare datorita temperaturilor inalte, particule de apa, sau utilizarea indelungata
- **Vascozitatea:** poate fi modificata la contaminarea cu fungingine sau datorita oxidarii.
- **Diluarea:** la motoarele termice poate reprezenta o problema la sistemul de injectie. Se masoara prin cromatografie.

ANALIZA SISTEMULUI DE ACTIONARE ELECTRICA

Există o gama largă de metode pentru monitorizare și diagnoza în sisteme de actionare electrice, funcție de tipul și localizarea defectelor.

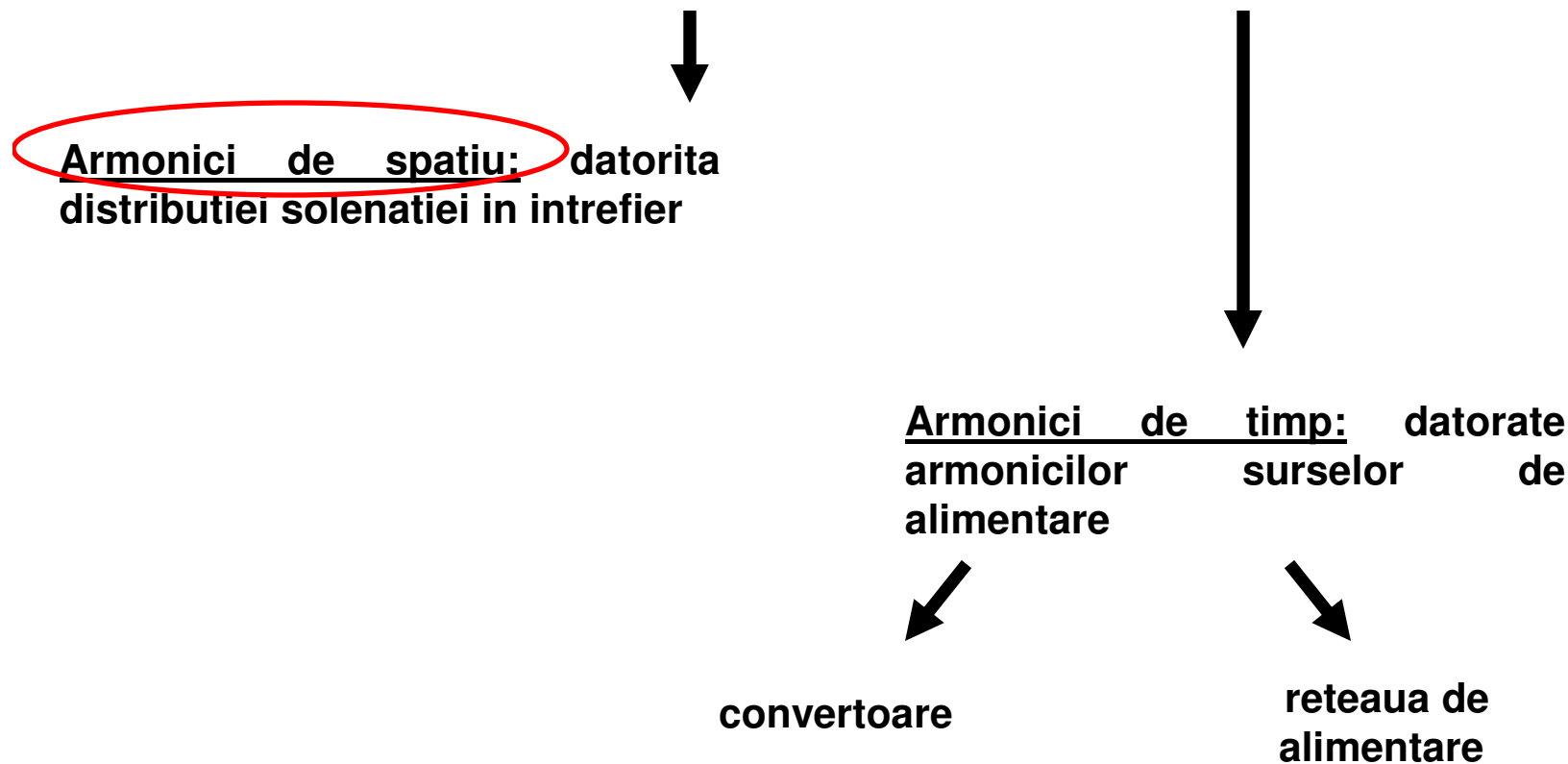


Metode de monitorizare si diagnoza in SAE

- Pe baza unui model al sistemului de actionare
- Pe baza estimarii parametrilor sistemului
- Prin analiza unor marimi importante : curenti, tensiuni, cuplu, flux de scapari, etc

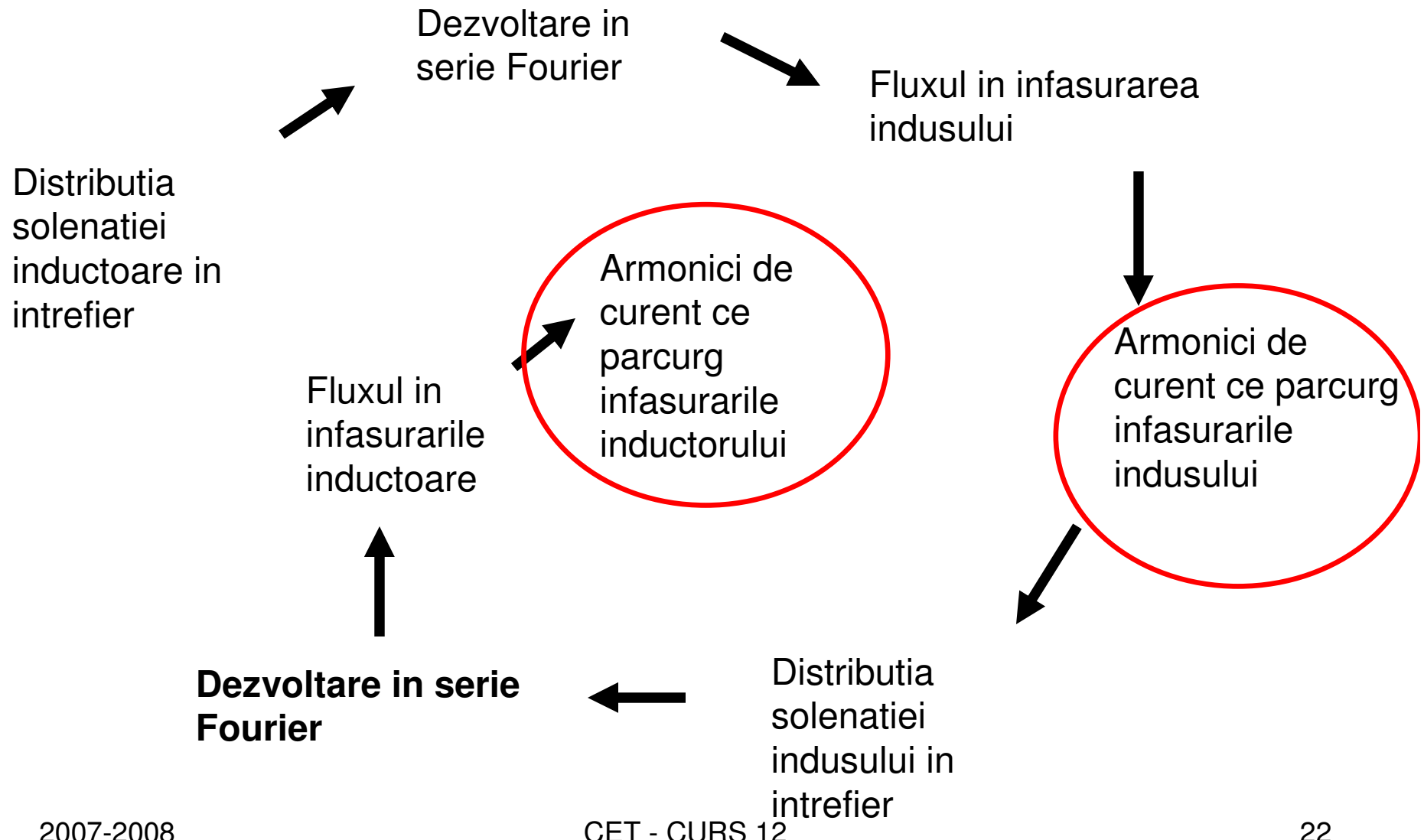
ARMONICI IN MASINI ELECTRICE DE CURENT ALTERNATIV

Armonici in masinile electrice

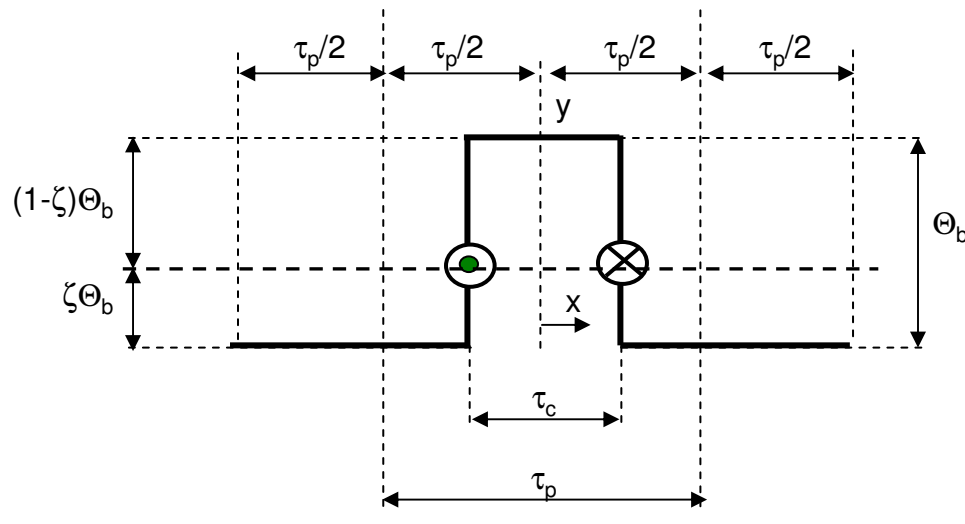




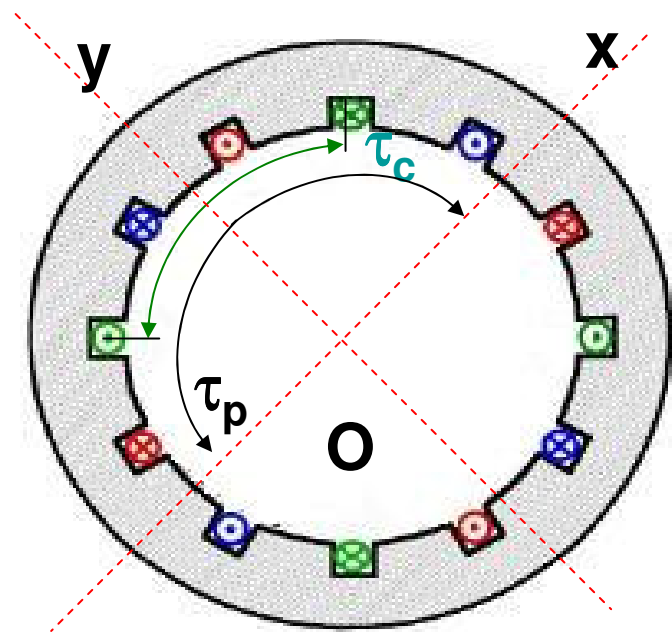
Mod de lucru



Distributia solenatiei unei bobine (pentru un pol)

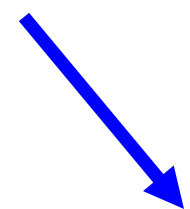


$$\Theta_b = N_i(t)$$



PERTURBAȚII ASUPRA REȚELEI DE ALIMENTARE - ARMONICI

$$\Theta_b(x) = \begin{cases} (1-\zeta)\Theta_b & 0 < x < \frac{1}{2}\tau_b \\ -\zeta\Theta_b & \frac{1}{2}\tau_b < x < 2\tau_p - \frac{1}{2}\tau_b \\ (1-\zeta)\Theta_b & 2\tau_p - \frac{1}{2}\tau_b < x < 2\tau_p \end{cases} \quad \Theta_b = Ni(t)$$



Dezvoltare in serie Fourier

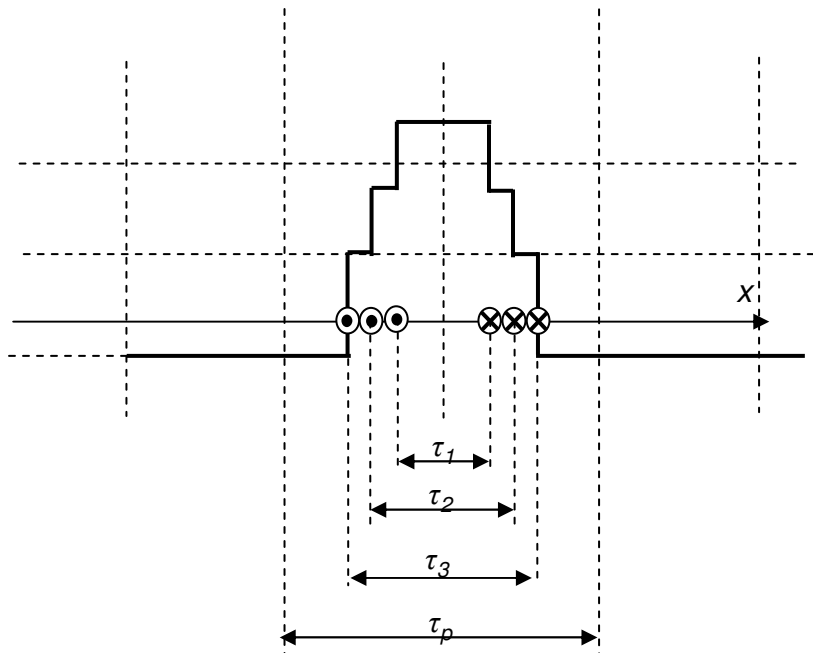
$$\Theta_b(x) = \sum_{\nu=1}^{\infty} \Theta_{b\nu} \cos(\nu \frac{x}{\tau_p} \pi)$$

Bobina

$$\Theta_b(x) = \frac{2}{\pi} Ni(t) \sum_{v=1}^{\infty} \frac{1}{v} \sin\left(v \frac{\pi}{2} \frac{\tau_b}{\tau_p}\right) \cos\left(v \frac{x}{\tau_p} \pi\right)$$

Grup de n_b bobine

$$\Theta_{grup}(x) = \frac{2}{\pi} Ni(t) \sum_{b=1}^{n_b} \sum_{v=1}^{\infty} \frac{1}{v} \sin\left(v \frac{\pi}{2} \frac{\tau_b}{\tau_p}\right) \cos\left(v \frac{x}{\tau_p} \pi\right)$$



Distributia solenatiei unui grup de 3 bobine concentrice, cu latimi diferite, inseriate.

PERTURBAȚII ASUPRA REȚELEI DE ALIMENTARE - ARMONICI

Pentru o masina cu p poli si m faze, solenatia totala pe armatura

$$\Theta_{total}(x,t) = \frac{2}{\pi} N \sum_{g=1}^{mp} n_b I_g \sum_{v=1}^{\infty} \frac{1}{v} k_{gv} [\sin(\alpha - v\beta) + \sin(\alpha + v\beta)]$$

Inductia magnetica in intrefier

$$B(x,t) = \frac{\mu_0 \Theta_{total}(x,t)}{2\delta_c} = \frac{\mu_0}{\pi \delta_c} N \sum_{g=1}^{mp} n_b I_g \sum_{v=1}^{\infty} \frac{1}{v} k_{gv} [\sin(\alpha - v\beta) + \sin(\alpha + v\beta)]$$

MASINA DE INDUCTIE

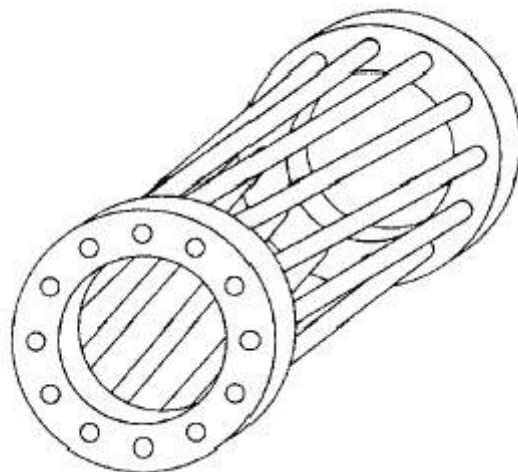
Rotorul in colivie



Fiecare crestatura contine un conductor de sectiune mare..



Toate barele sunt legate in scurtcircuit.



2007 - 2000

Parametrii masinii de inductie:

m - numarul de faze

2p – numarul de poli

g – numarul de grupuri de bobine pe faza

c – numarul de bobine pe grup

Z_r – numarul de crestaturi rotorice

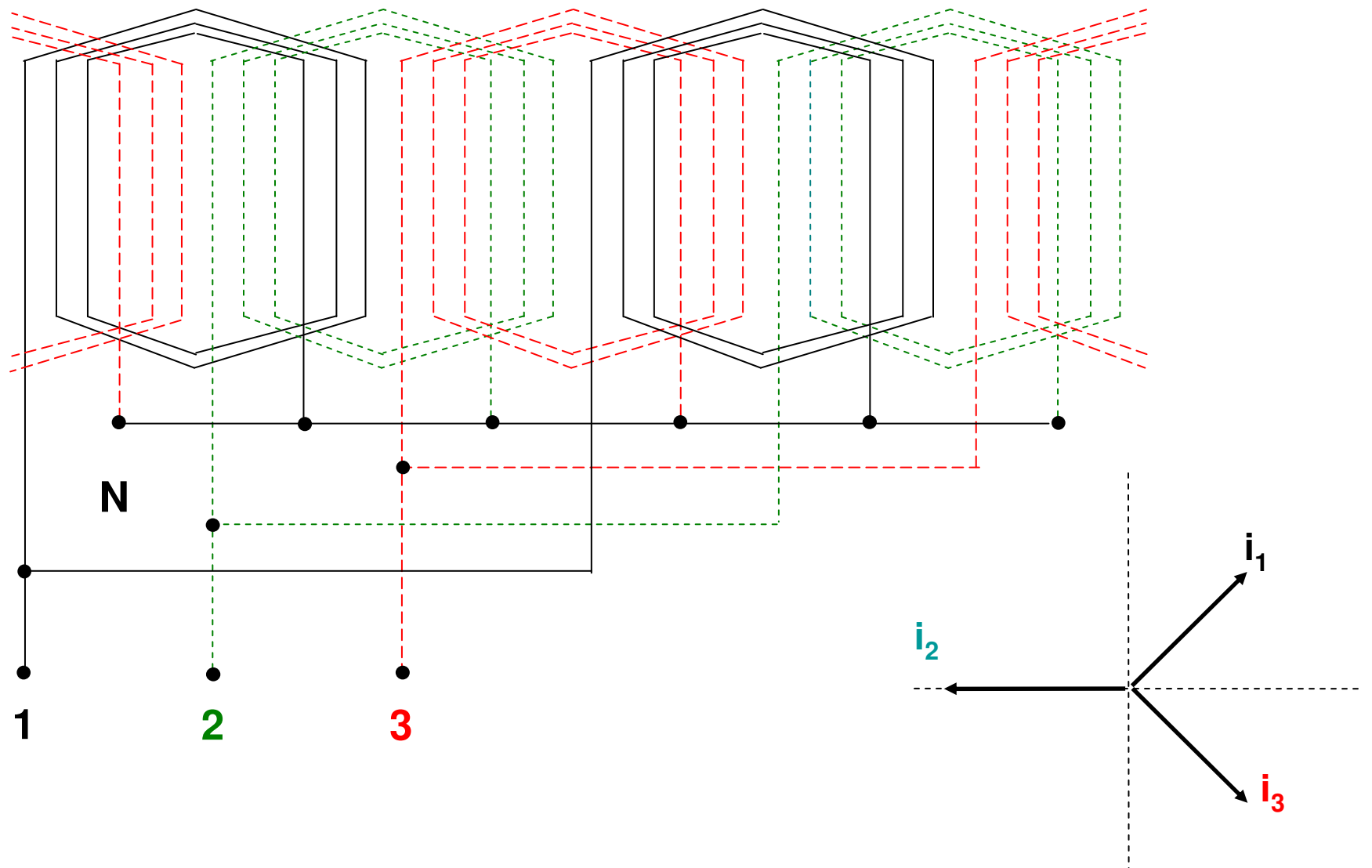
Rotor bobinat

- ! Rotorul are un bobinaj asemanator cu cel statoric.
- ! Infasurarile sunt accesibile prin borne

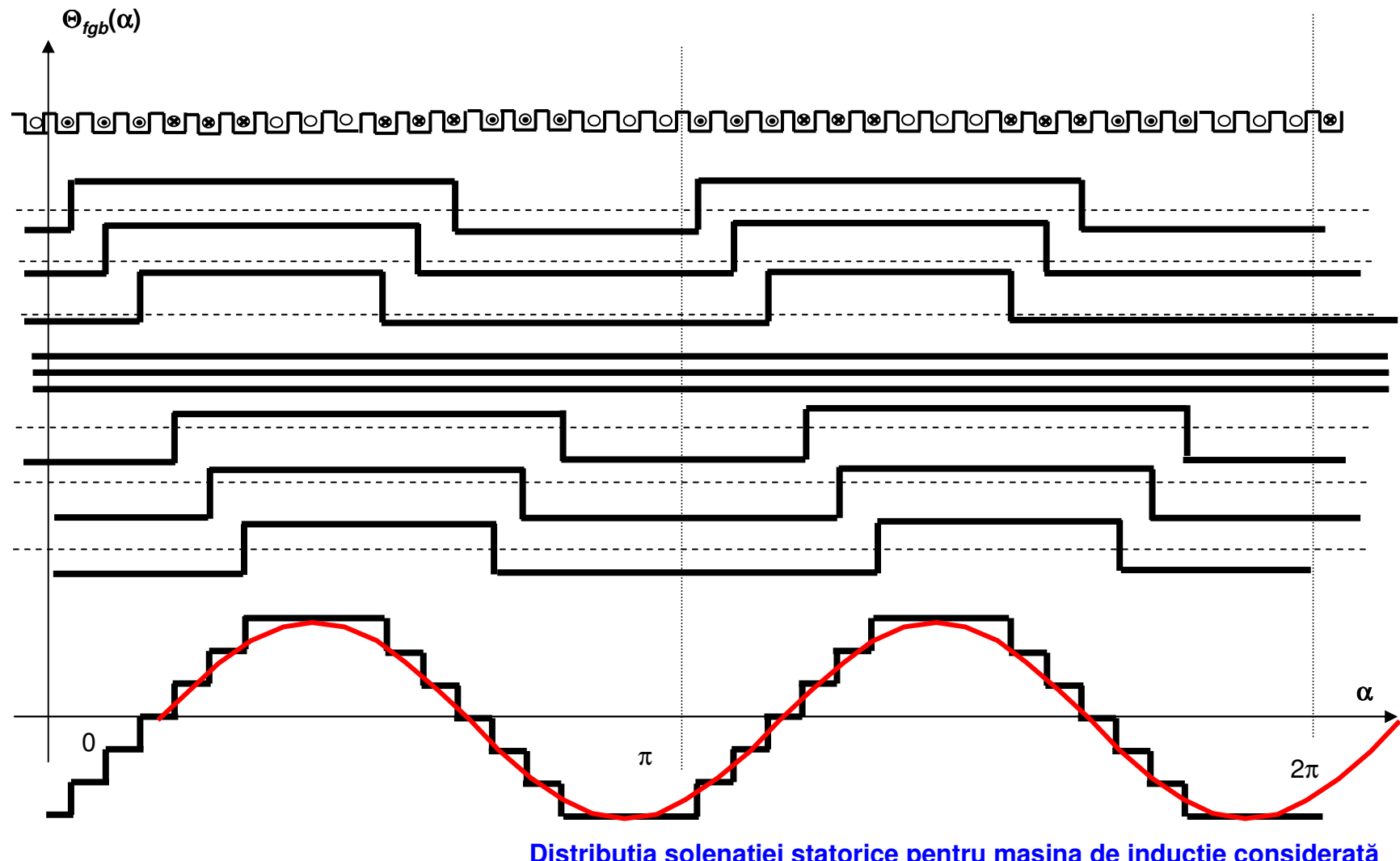
Paramètres de la machine à induction:

- m - numarul de faze**
- 2p – numarul de poli**
- g_s – numarul de grupuri de bobine pe faza in stator**
- c_s – numarul de bobine pe grup in stator**
- g_r – numarul de grupuri de bobine pe faza in rotor**
- c_r – numarul de bobine pe grup in rotor**

PERTURBAȚII ASUPRA REȚELEI DE ALIMENTARE - ARMONICI



PERTURBAȚII ASUPRA REȚELEI DE ALIMENTARE - ARMONICI



Curenti statorici

$$i_a(t) = \sqrt{2}I \sin(\omega t)$$

$$i_b(t) = \sqrt{2}I \sin\left(\omega t - \frac{2\pi}{3}\right)$$

$$i_c(t) = \sqrt{2}I \sin\left(\omega t + \frac{2\pi}{3}\right)$$



Flux indus de catre solenatia statorica intr-un ochi rotoric

Solenatie statorica

$$\Theta_v^s(t, x) = \frac{6N_s I_a^s}{p\pi\nu} \left(\sum_{b=1}^3 \sin\left(\nu \frac{\tau_{cb}}{\tau_p} \frac{\pi}{2}\right) \right) \sin\left[\omega t - \frac{\nu\pi}{\tau_p} x\right], \nu = 6k + 1$$

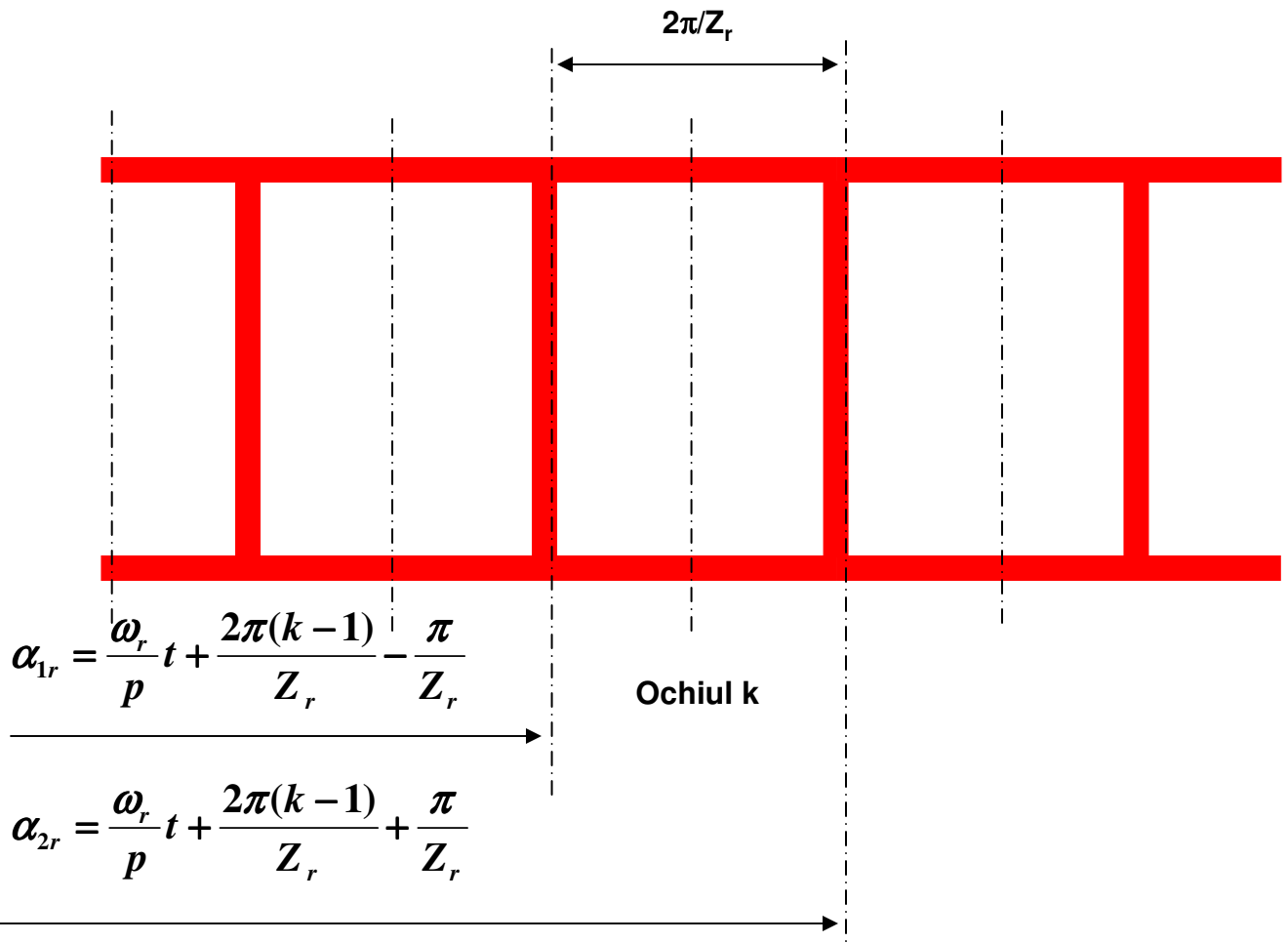
$$\Theta_v^s(t, x) = \frac{6N_s I_a^s}{p\pi\nu} \left(\sum_{b=1}^3 \sin\left(\nu \frac{\tau_{cb}}{\tau_p} \frac{\pi}{2}\right) \right) \sin\left[\omega t + \frac{\nu\pi}{\tau_p} x\right], \nu = 6k - 1$$



$$\Phi_{kv}^s(t) = \begin{cases} \Phi_{\max\nu} \sin\left[\omega t - \nu\omega_r t - \frac{\nu\pi}{p} \frac{2\pi(k-1)}{Z_r}\right], & \nu = 6k + 1 \\ \Phi_{\max\nu} \sin\left[\omega t - +\nu\omega_r t + \frac{\nu\pi}{p} \frac{2\pi(k-1)}{Z_r}\right], & \nu = 6k - 1 \end{cases}$$



Rotorul in colivie: Z_r ochiuri rotorice



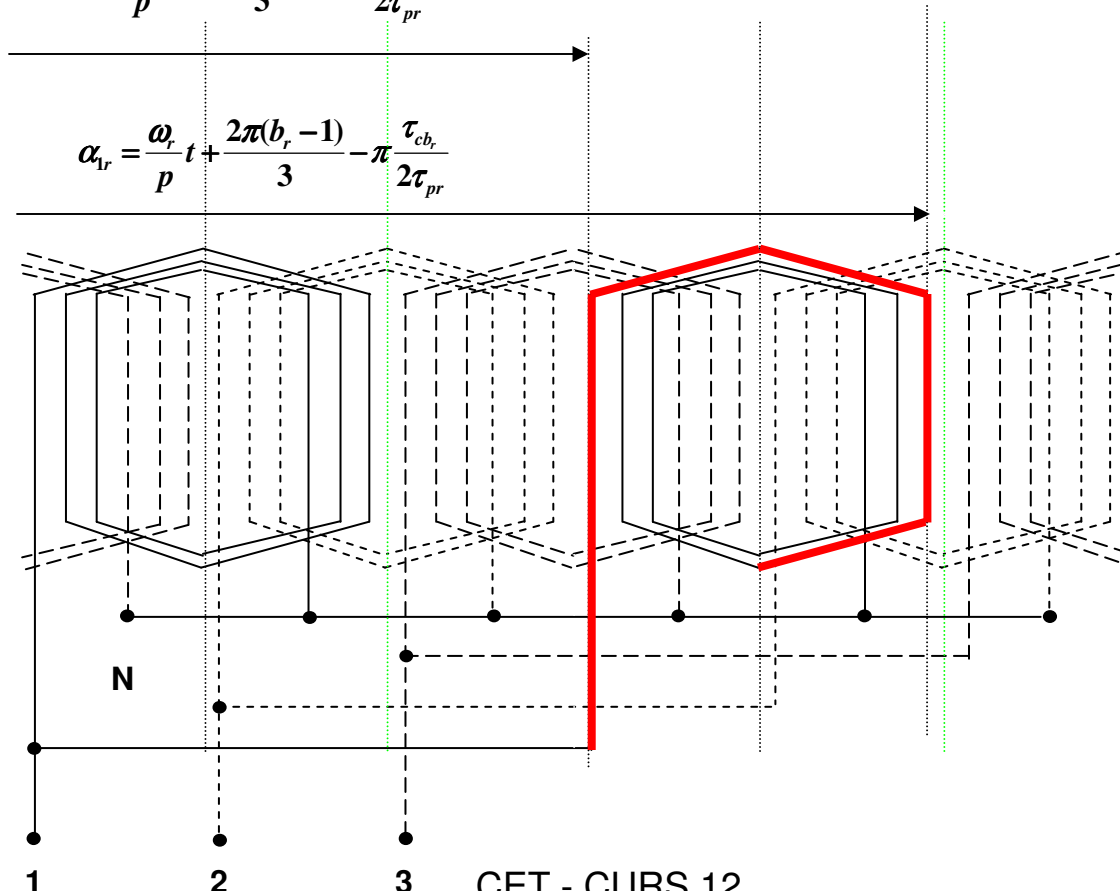
Rotorul bobinat: Z_r crestaturi rotorice

m_r faze rotorice

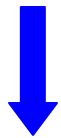
$$\alpha_{2r} = \frac{\omega_r}{p} t + \frac{2\pi(b_r - 1)}{3} + \pi \frac{\tau_{cb_r}}{2\tau_{pr}}$$

$$\alpha_{1r} = \frac{\omega_r}{p} t + \frac{2\pi(b_r - 1)}{3} - \pi \frac{\tau_{cb_r}}{2\tau_{pr}}$$

Bobina b_r a rotorului

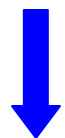


PERTURBAȚII ASUPRA REȚELEI DE ALIMENTARE - ARMONICI



$$e_{k,v} = -\frac{d}{dt}\Phi_{kv}^s(t) = [1 + v(1-s)]\omega\Phi_{\max v} \cos\left[\omega t + v\omega_r t + \frac{v\pi}{p} \frac{2\pi(k-1)}{Z_r}\right]$$

T.e.m. indusa de catre solenatia
statorica intr-un ochi rotoric

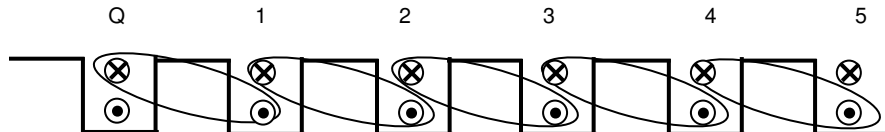


$$f_{rotor} = [1 - v(1-s)]f, v = 6k + 1$$

Frecvențele componentelor spectrale ale
curentilor rotorici

$$f_{rotor} = [1 + v(1-s)]f, v = 6k - 1$$

PERTURBAȚII ASUPRA REȚELEI DE ALIMENTARE - ARMONICI



Infasurarea echivalentă a rotorului în colivie.

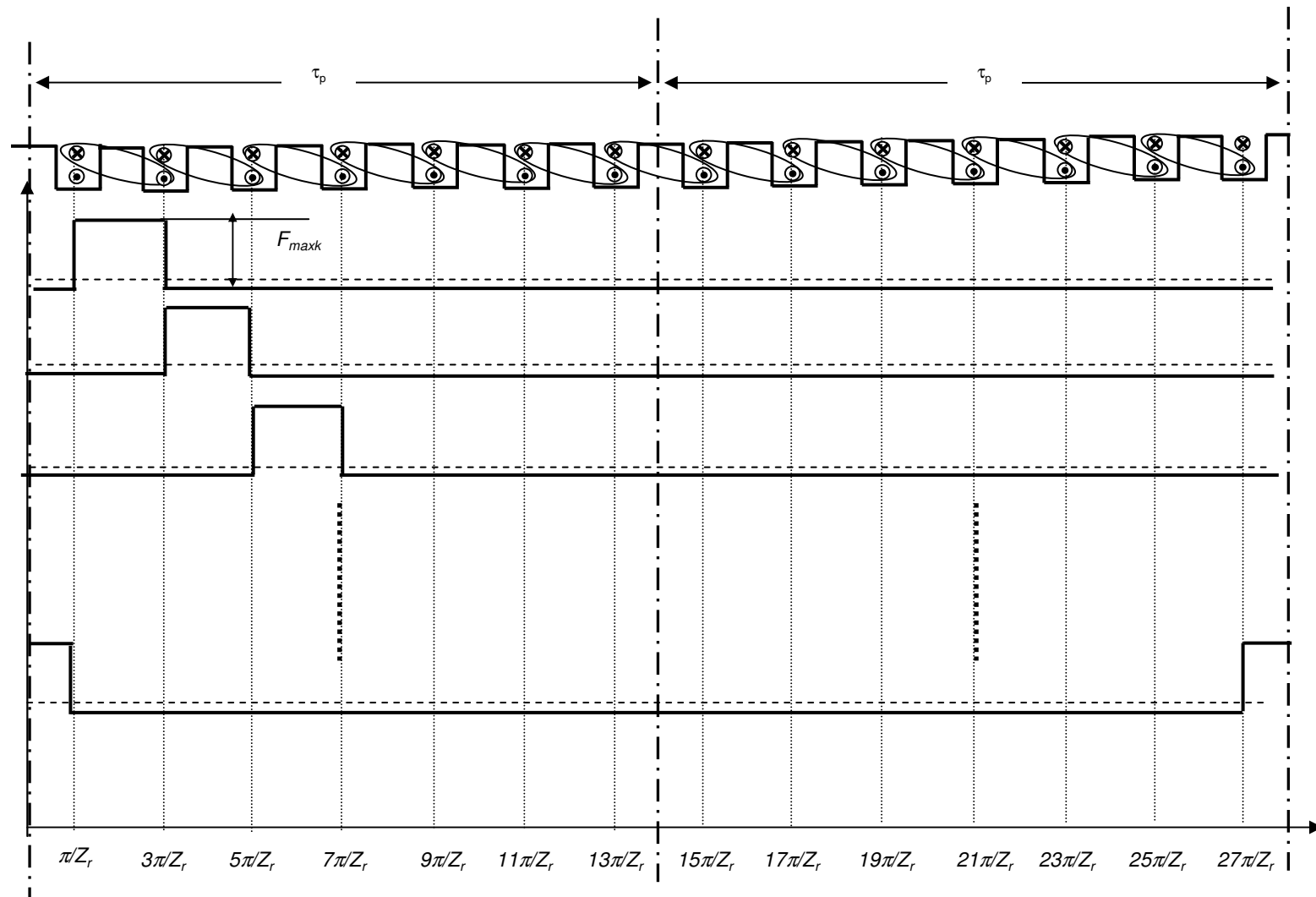
Solenia corespunzatoare unei faze rotorice

$$\Theta_{kv}^r(\alpha) = \begin{cases} -\varsigma \Theta_{\max k}^r, & 0 \leq \alpha < \frac{2k-1}{2} \frac{2\pi}{Z_r} \\ (1-\varsigma_r) \Theta_{\max k}^r, & \frac{2k-1}{2} \frac{2\pi}{Z_r} \leq \alpha \leq \frac{2k+1}{2} \frac{2\pi}{Z_r} \\ -\varsigma_r \Theta_{\max k}^r, & \frac{2k+1}{2} \frac{2\pi}{Z_r} < \alpha \leq 2\pi \end{cases}$$

Dezvoltare în serie Fourier

$$\Theta_v(\alpha, t) = \sum_{k=1}^{Z_r} \frac{I_{rv,\max}}{\pi} \sum_{\gamma=1}^{\infty} \frac{1}{\gamma} \sin\left(\frac{\pi\gamma}{Z_r}\right) \sin\left(\gamma\alpha \pm s_v \omega t + (\gamma\mu\omega p)\right)$$

PERTURBAȚII ASUPRA REȚELEI DE ALIMENTARE - ARMONICI



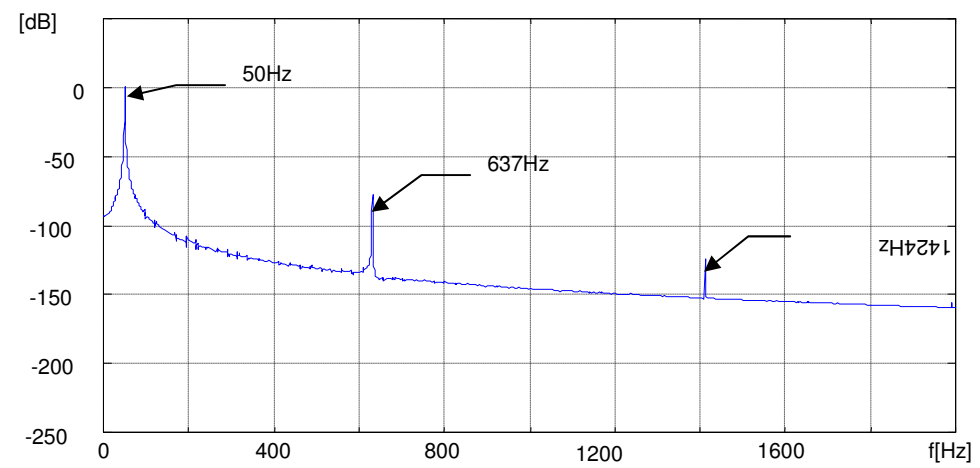
Distribuția solenătiei rotorice de-a lungul întrefierului.

PERTURBAȚII ASUPRA REȚELEI DE ALIMENTARE - ARMONICI

Pentru tensiunea electromotoare indusă în bobina statorică rezulta armonici de curent de frecvență

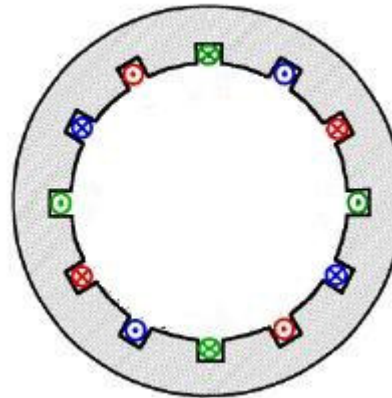
$$f_{\text{stator}} = \left[\gamma \frac{Z_r}{p} (1-s) \pm 1 \right] f$$

Ordinul armonicii (γ)	Frecvența armonică [Hz]
1	637
2	1424
4	2698
5	3485
6	4171.5
8	5546
9	6133



Spectrul de frecvențe al curentului statoric

MASINA SINCRONA



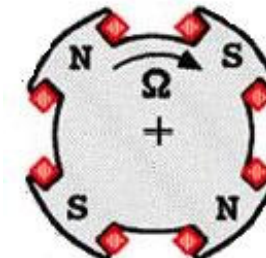
Stator(indusul)



Rotor(inductor)

Rotor cu poli inecati

(infasurari distribuite in crestaturi
rotorice)

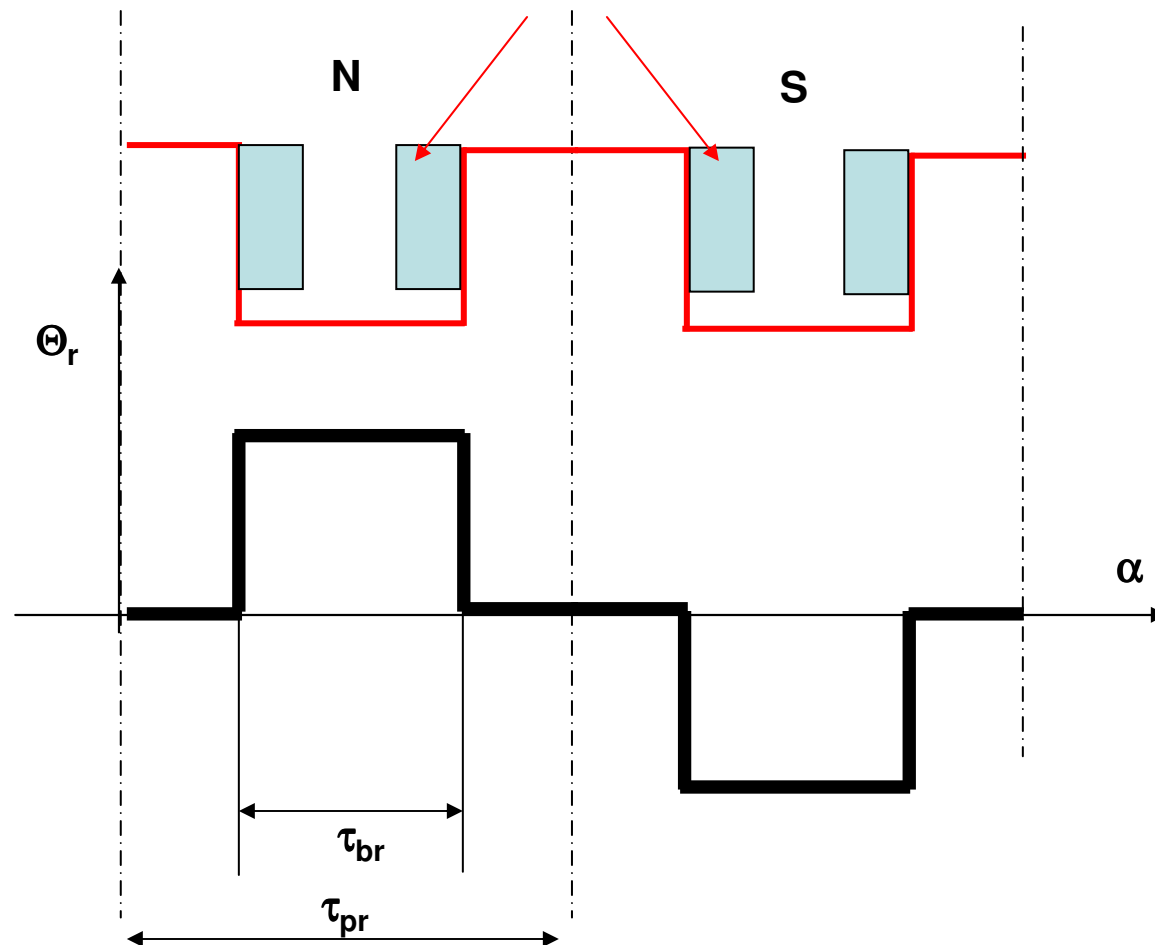


Rotor cu poli aparenti

(infasurari concentrate sau magneti
permanenti)

Rotor cu poli aparenti

Bobine rotorice concentrate sau magneti permanenti pe rotor



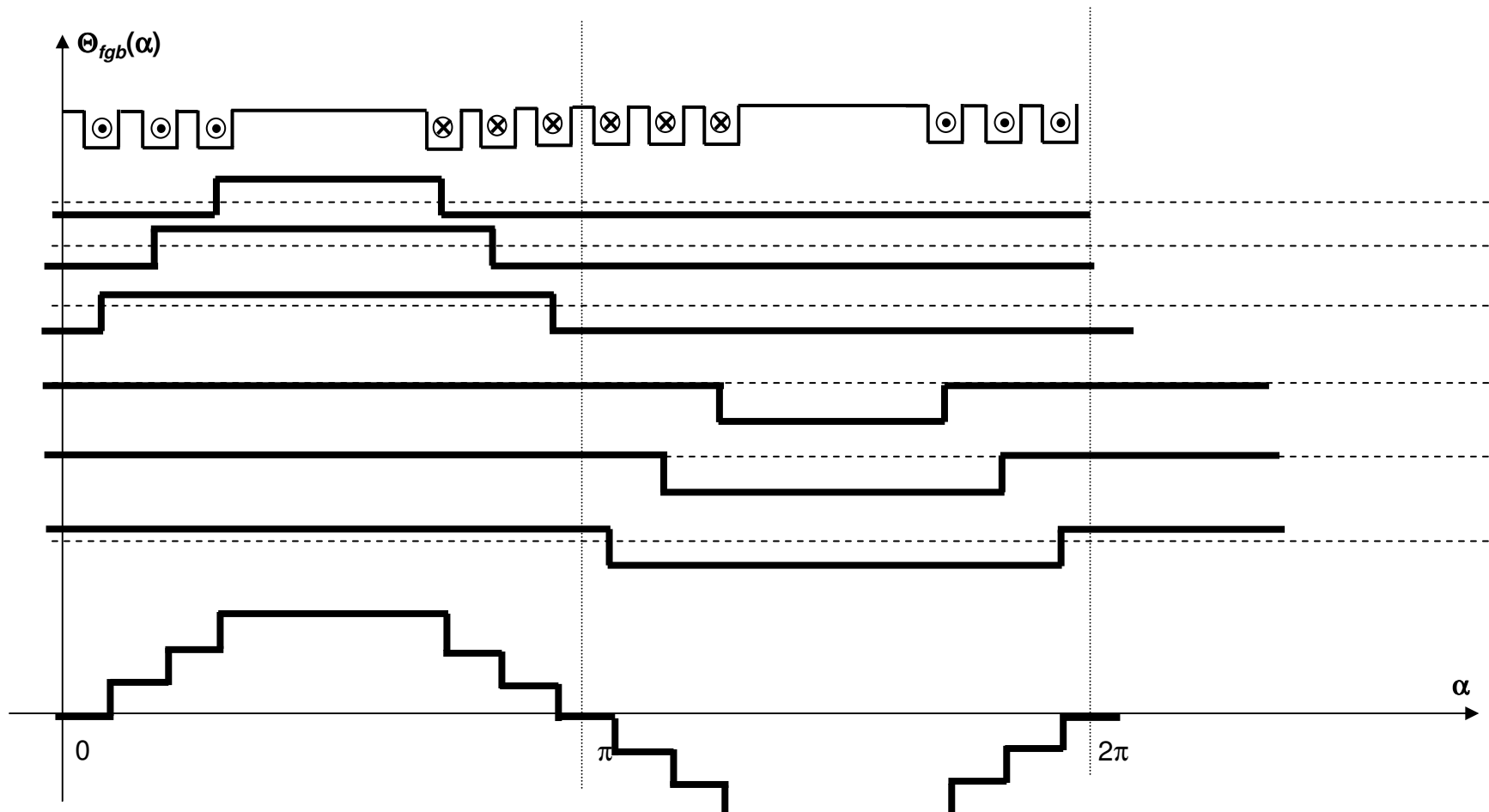
Solenatia dezvoltata de infasurarea/magnetul permanent rotoric:

$$\Theta_r(\alpha, t) = \sum_{v=1}^{\infty} \Theta_{r,v,\max}(t) \cos p v \alpha$$

cu

$$\Theta_{r,v,\max}(t) = \text{constant}$$

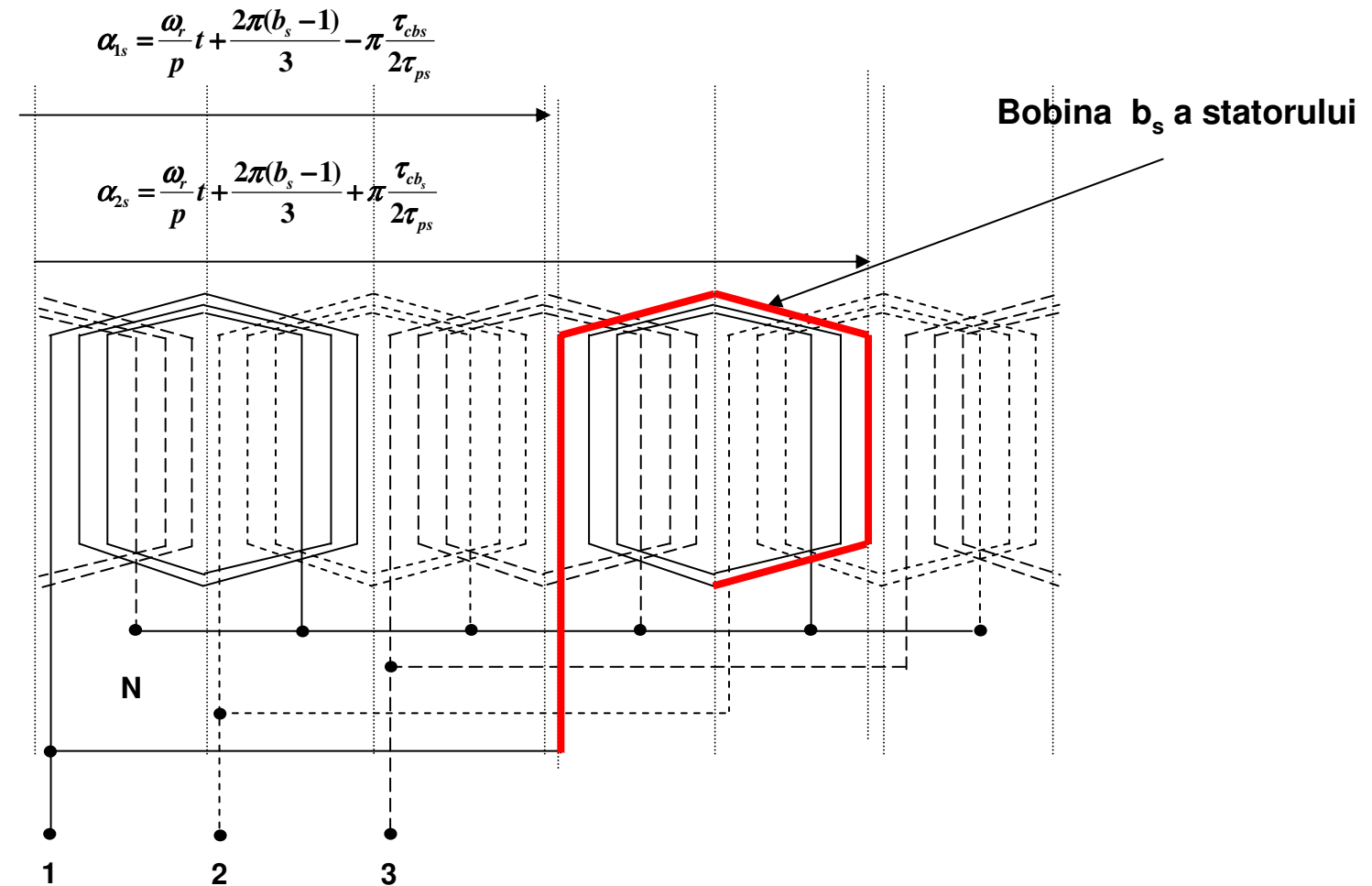
Rotor cu poli inecati



Solenatia dezvoltata de infasurarea rotorica:

$$\Theta_r(x) = \sum_{b_r=1}^c \Theta_{b_r}(x) = \frac{2}{\pi} c N i \sum_{v=1}^{\infty} \frac{1}{v} k_{cv} \cos \left[v \left(\frac{x}{\tau_p} \pi \right) \right]$$

Conexiunile infasurarii statorice



Expresia fluxului care inlantuie bobina statorica b_s prin armonica v rotorica e data de :

$$\Phi_{b_s,v}(t) = \int_{S_k} B_v dA = \int_{\alpha_{1s}}^{\alpha_{2s}} \frac{\mu_0 \Theta_{r,v}(\alpha, t)}{\delta_c} l_c d\alpha$$

Fluxul total in bobina b_s :

$$\Phi_{b_s}(t) = \sum_{\nu=1}^{\infty} \Phi_{b_s, \nu} \cos \left\{ \nu \alpha t + p \nu \frac{2\pi(b_s - 1)}{3} \right\}$$

Tensiunea electromotoare indusa in bobina b_s :

$$e_{b_s} = -\frac{d}{dt} \Phi_{b_s}(t) = \sum_{\nu=1}^{\infty} E_{b_s, \nu, \max} \cos \left\{ \nu \alpha t + p \nu \frac{2\pi(b_s - 1)}{3} \right\}$$

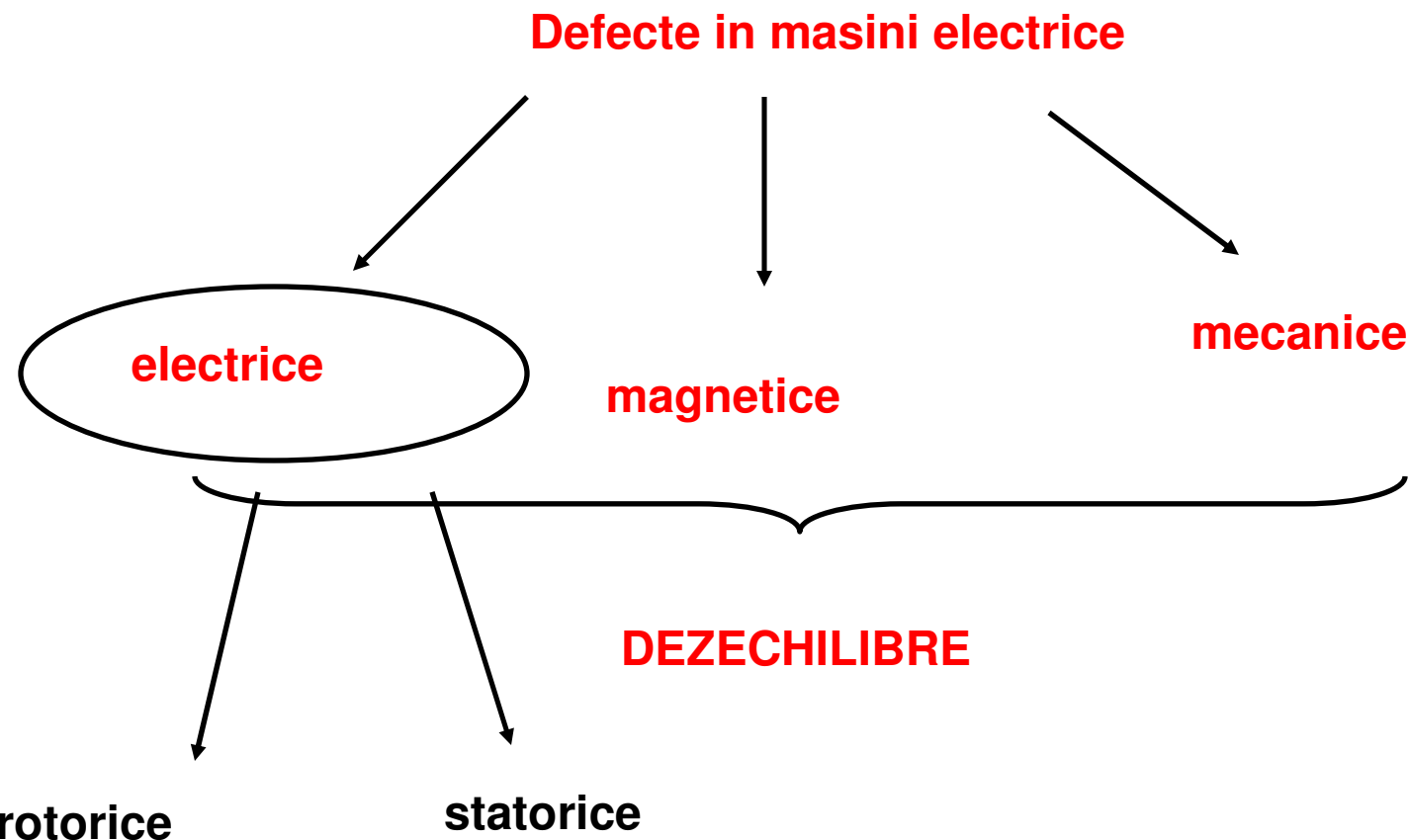
Frecventele ce vor apare in curentul statoric:

$$f_{stator} = \nu f_{source}$$

APLICATII



Diagnoza în mașini electrice





Diagnoza in masini de inductie

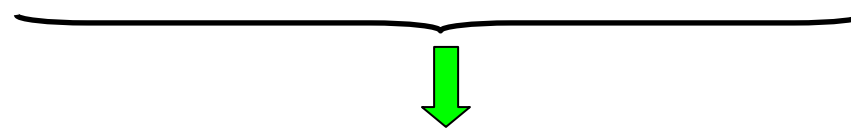


Defecte electrice

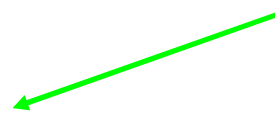


Bare sau inele rupte

Scurtcircuite statorice sau
rotorice



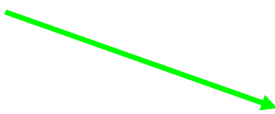
Dezechilibru



CURENT



FLUX



CUPLU



Expresia cuplului electromagnetic dezvoltat de o masina de inductie

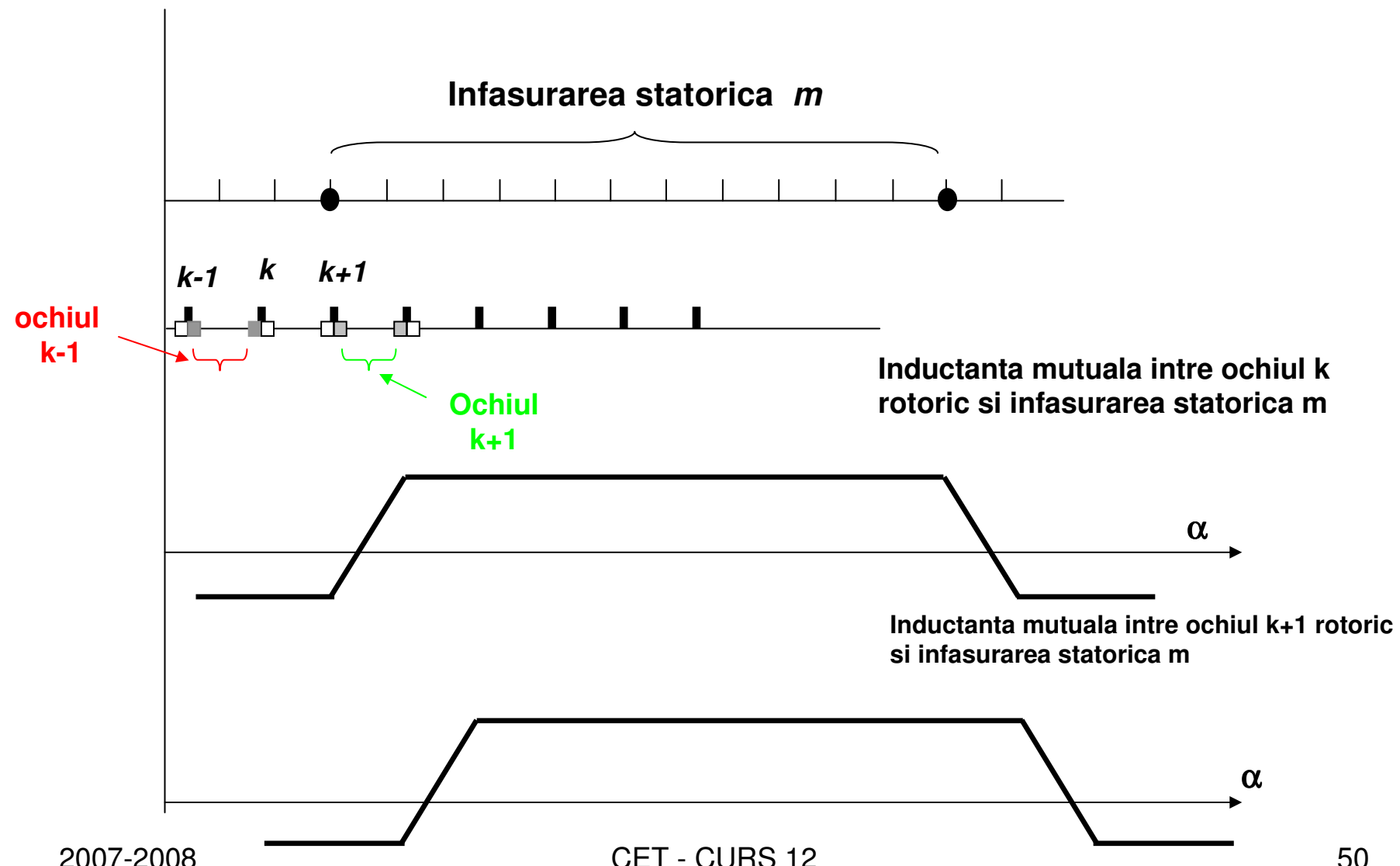
$$T = \frac{1}{2} \sum_{h=1}^j \sum_{k=1}^{N_r} i_h^s i_k^r \frac{dL_{h,k}^{sr}}{d\theta}$$

i_h^s – curentul ce parcurge bobina h a infasurarii statorice

i_k^r – curentul ce parcurge ochiul h rotoric

$L_{h,k}^{sr}$ – inductanta mutuala intre bobina h statorica si ochiul k rotoric

Inductanta mutuala intre un ochi rotoric si o infasurare statorica



$$f_{1torque} = [\alpha + \beta + \nu(1-s)] f_{\text{sup } ply}$$

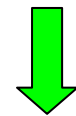
$$f_{1torque} = [\alpha + \beta - \nu(1-s)] f_{\text{sup } ply}$$

$$f_{1torque} = [\alpha - \beta + \nu(1-s)] f_{\text{sup } ply}$$

$$f_{1torque} = [\alpha - \beta - \nu(1-s)] f_{\text{sup } ply}$$

$$\alpha = q \frac{Z_r}{p} (1-s) \pm 1$$

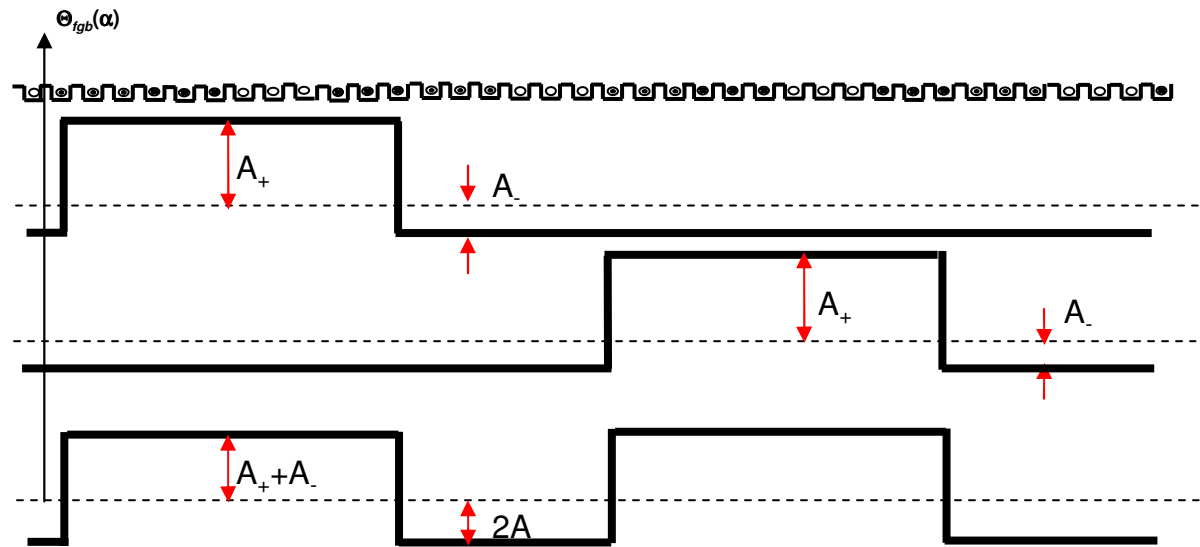
$$\beta = 1 \mu (1-s) \nu$$



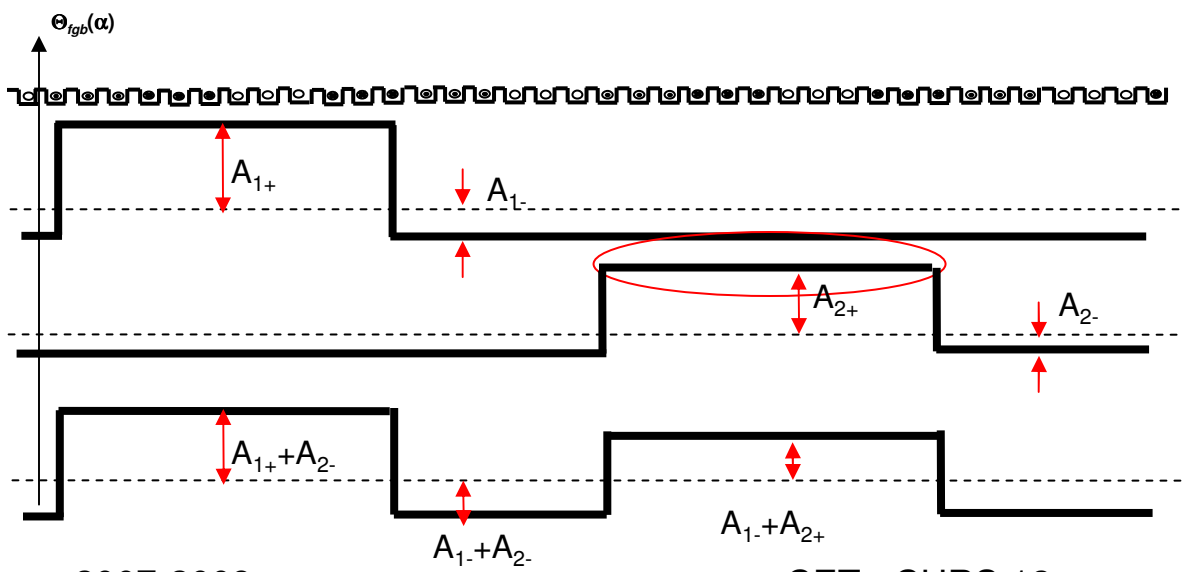
Un spectru foarte bogat in armonici

DEFECTE ELECTRICE STATORICE

**Masina de inductie
fara defecte**



**Masina de inductie
cu scurtcircuit in faza
1 grupul 2**



Solenatia statorului fara defecte

$$\Theta_s(t, x) = \sum_{\nu=1}^{\infty} \frac{3NI}{\pi\nu} \left(\sum_{b=1}^3 \sin\left(\nu \frac{\tau_{cb}}{\tau_p} \frac{\pi}{2}\right) \right) \sin[\alpha t + \nu p \alpha]$$

$$\nu = 6k \pm 1, \quad k = 0, 1, 2, \dots$$

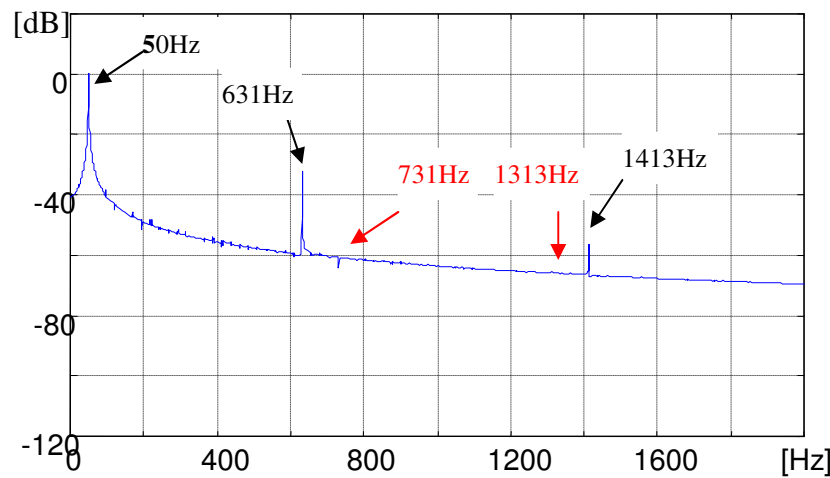
Solenatia statorica cu defecte statorice (scurt circuit)

$$\Theta_s(\alpha, t) = \sum_{\nu=1}^{\infty} \Theta_{\nu_{max}} \sin(\alpha t + \nu p \alpha) + \sum_{\nu_{sc}=1}^{\infty} \Theta_{\nu_{sc, max}} \sin(\alpha t + \nu_{sc} \alpha)$$

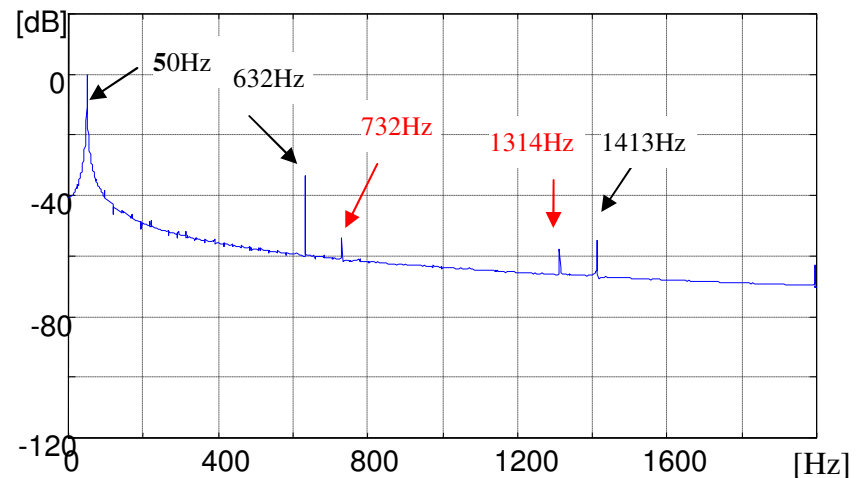
$$\nu = 6k \pm 1, \quad k = 0, 1, 2, \dots$$

$$\nu_{sc} = 1, 3, 5, \dots$$

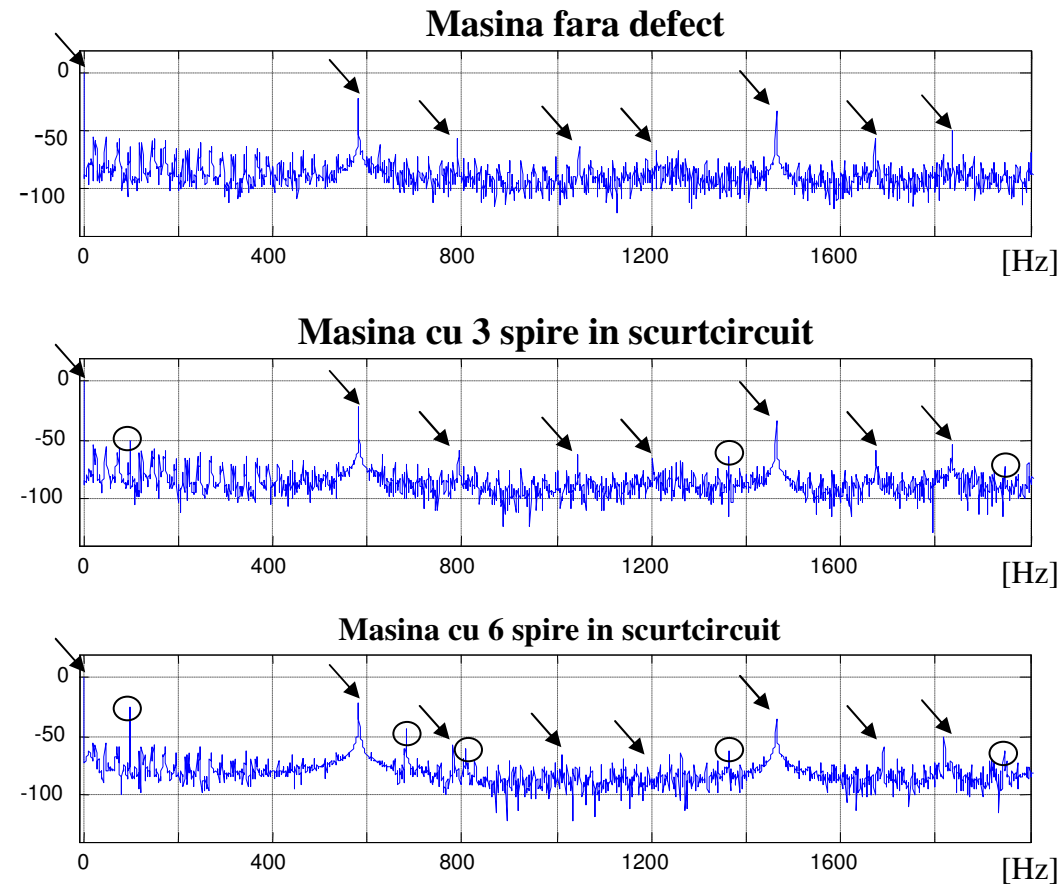
Masina de inductie fara defecte



Masina de inductie cu 6 spire in scurt-circuit



Curent staticic



CUPLU ELECTROMAGNETIC

Concluzii

Vom regasi armonici in plus in spectrele curentului statoric si al cuplului in cazul in care sunt defecte in masina

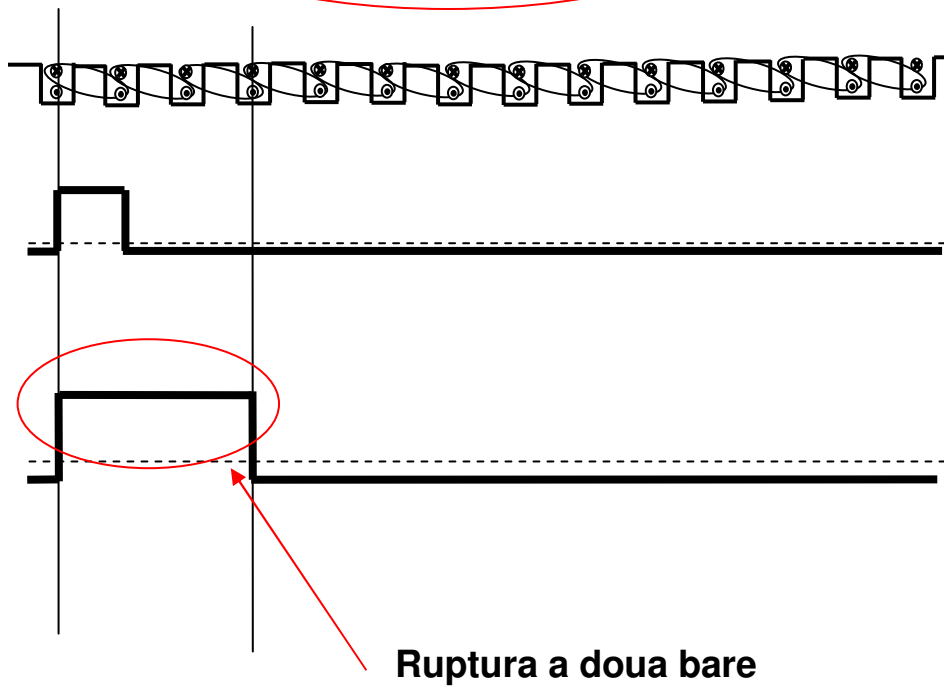
DEFECTE ELECTRICE ROTORICE

Solenatia rotorului fara defecte

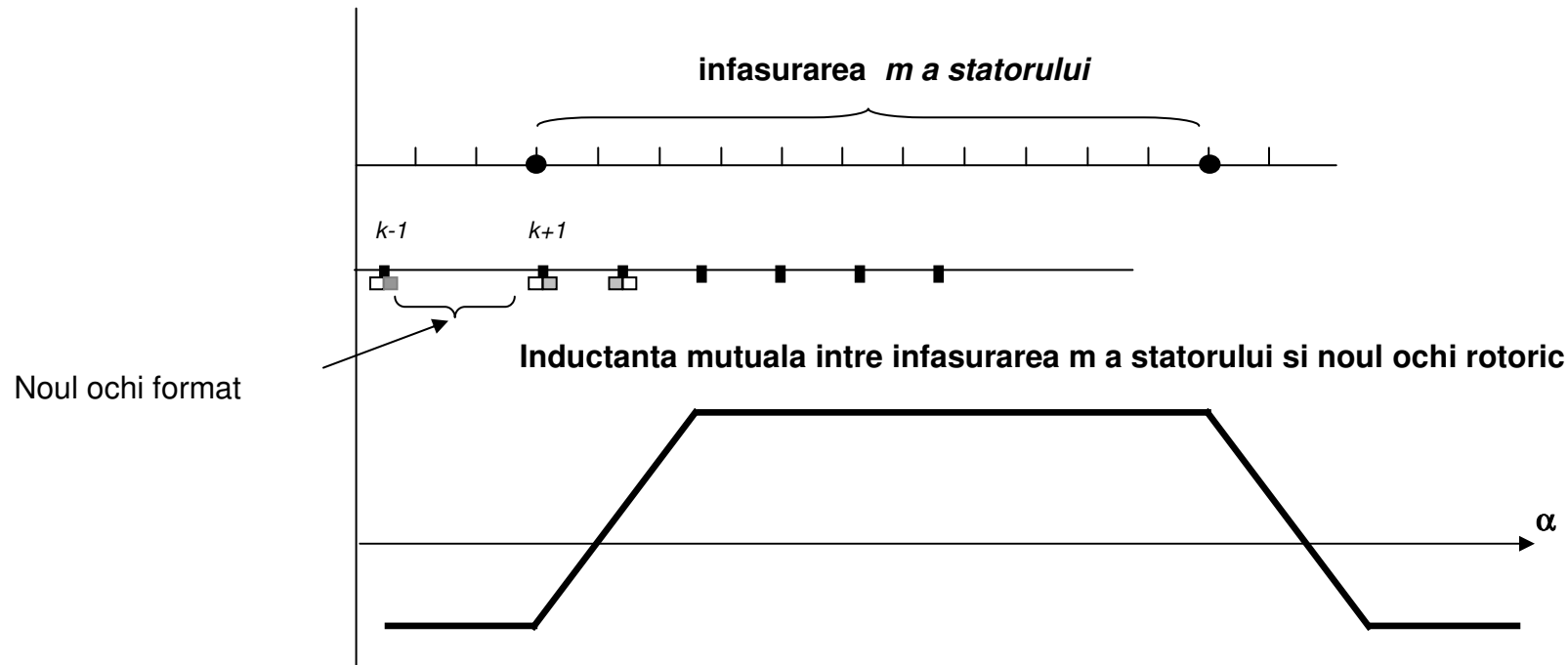
$$\Theta_{r,v}(\alpha, t) = \frac{Z_r I_{rv,\max}}{\pi} \sum_{\gamma=1}^{\infty} \frac{1}{\gamma} \sin\left(\frac{\pi\gamma}{Z_r}\right) \sin\left\{\gamma\alpha \pm s_v \omega t\right\} \quad \gamma = qZ_r \pm vp, \quad q = 0, 1, 2, \dots \quad v = 6k \pm 1, \quad k = 0, 1, 2, \dots$$

Solenatia rotorului cu defecte rotorice

$$\Theta_v(\alpha, t) = \sum_{k=1}^{Nr} \frac{I_{rv,\max}}{\pi} \sum_{\gamma=1}^{\infty} \frac{1}{\gamma} \sin\left(\frac{\pi\gamma}{Z_r}\right) \sin\left\{\gamma\alpha \pm s_v \omega t + (\gamma \mu vp) \frac{2\pi}{Z_r} k\right\} \quad \gamma = 0, 1, 2, \dots \quad \gamma \neq 2pi, \quad i \in N$$

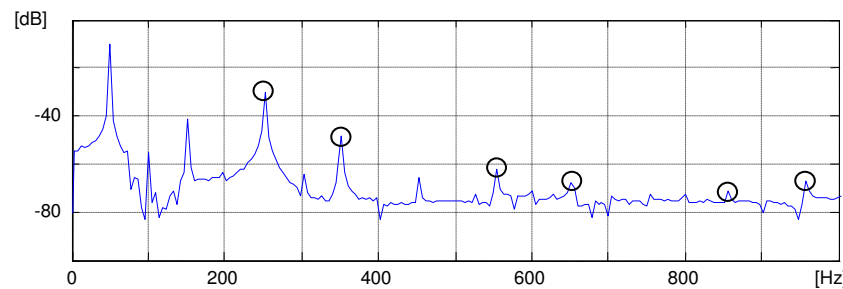


Inductanta mutuala intre infasurarea m a statorului si noul ochi rotoric format

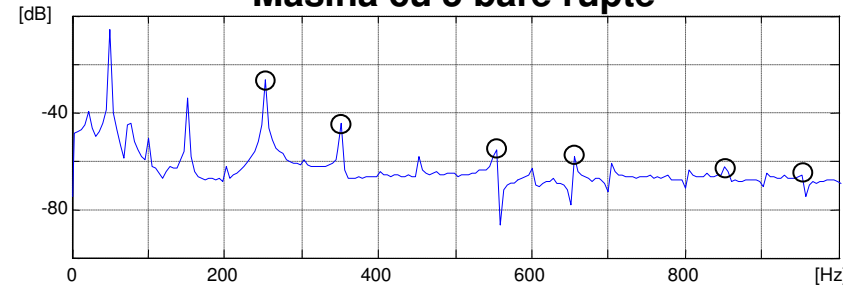


Vom regasi armonici in plus in spectrele curentului statoric si al cupplului in cazul in care sunt defecte in masina

Masina sanatoasa



Masina cu 5 bare rupte



$$f_{stator} = \left[\left(\frac{\mu}{p} \mu \nu \right) (1 - s) \pm 1 \right] f_{sursa}$$